

## Факультет вычислительной математики и кибернетики МГУ

Модели квазиодно мерной гемодинамики

М.В.Абакумов, А.Я.Буничева, В.Б.Кошелев, С.И.Мухин, Н.В.Соснин, А.П.Фаворский, А.Б.Хруленко

## Основные направления математического моделирования гемодинамики

## Моделирование течения крови в отдельном сосуде

2D и 3D модели течения в крупных сосудах (уравнения Навье-Стокса) (моделирование упругости стенки сосуда, турбулентность течения, многокомпонентность крови (не ньютоновская жидкость), взаимодействие со стенками сосуда, области бифуркации сосудов, моделирование тромбообразования, стенозов, аневризмов и т.д.) 2D и 3D модели течения крови в мелких сосудах (капиллярах)с учетом реологии.

Моделирование течения крови в сердце (2D и 3D модели)

Моделирование течения крови в сети сосудов (дерево сосудов, замкнутая система) для исследования общих закономерностей течения крови.

- На основе балансных соотношений
- На аналогиях с «электрической цепью»
- Квазиодномерное приближение:
  - соответствует типу сосудистой сети
  - дает возможность описать систему кровообращения в целом
  - позволяет отслеживать параметры течения крови вдоль сосуда
  - позволяет учесть особенности каждого сосуда
  - является основой для построения разномасштабных моделей
  - -предоставляет возможность расчета переноса веществ кровью
  - -предоставляет возможность использовать различные модели сосудов и органов
  - -использует доступные физиологические данные
  - -обладает хорошей точностью
  - -предъявляет разумные требования к вычислительным мощностям

# Комплексная нелокальная математическая модель сердечно-сосудистой системы

Модели сосудов

1. Создание математической модели течения крови в замкнутой системе сосудов (графе сосудов) произвольной топологии

Базовая модель
описание течения крови в сосуде
квазиодномерными уравнениями гемодинамики +
нелокальные граничные условия +
условия сопряжения в точках бифуркации

Модели сердца

Модели почки

 $q_{kid} = q_{stat} \exp(\langle p \rangle - p_{stat})$ 

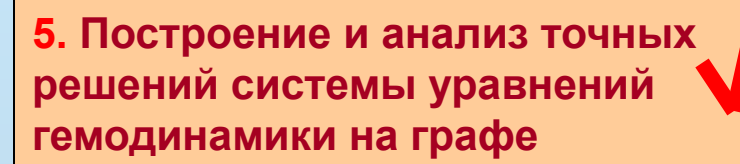
2. Разработка эффективных моделей различных органов, сопряженных с работой сердечно-сосудистой системы (в том числе – точечной модели сердца)

3. Создание эффективных однородных методов описания графа сосудов и численного решения глобальной математической модели

Однородная консервативная неявная разностная схема для системы уравнений на графе

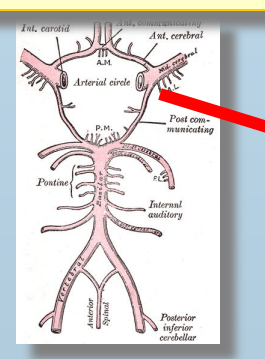
#### Комплексная нелокальная математическая модель сердечно-сосудистой системы

4. Создание интерактивного программного комплекса со средствами подготовки и обработки данных.

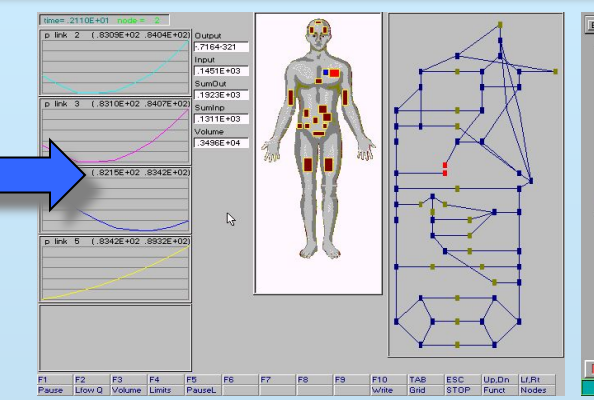


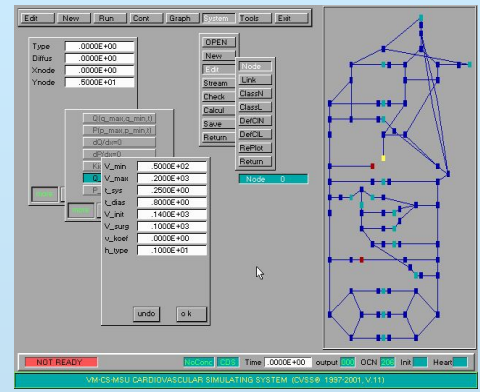
6. Проведение вычислительных экспериментов в интересах фундаментальной и практической физиологии и медицины

**Моделирование Щеребральной гемодинамики** 









Моделирование влияния гравитационных нагрузок на сердечно-сосудистую систему



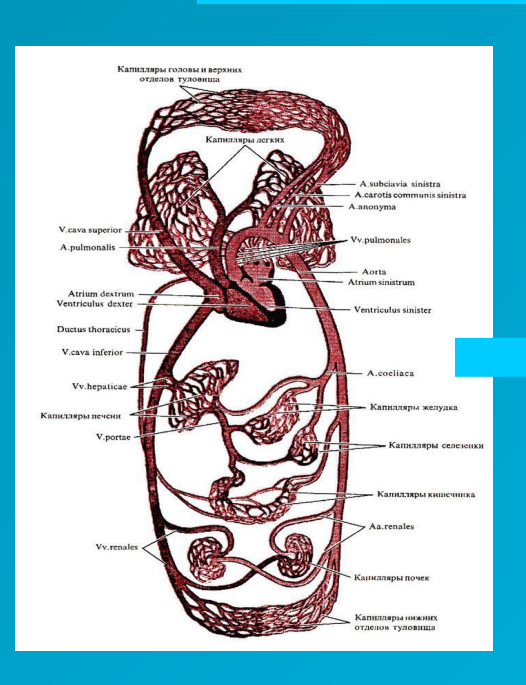
Моделирование влияния физических нагрузок

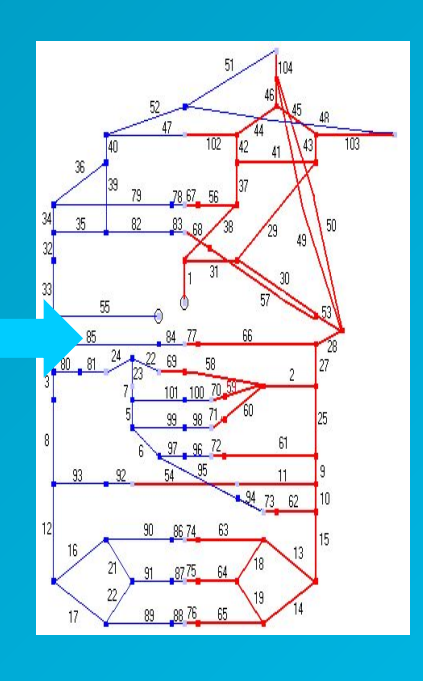
Моделирование переноса веществ кровью по графу сосудов с учетом процессов сорбции-десорбции

Моделирование почечной регуляции давления



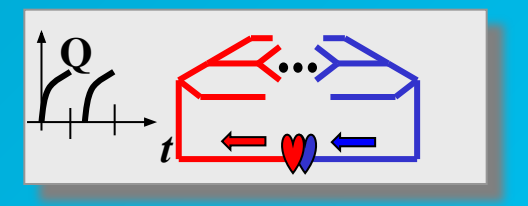
## Формализация системы кровообращения в граф

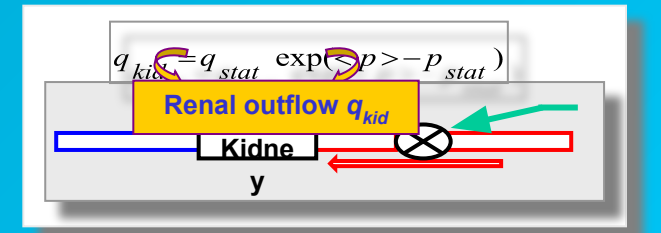


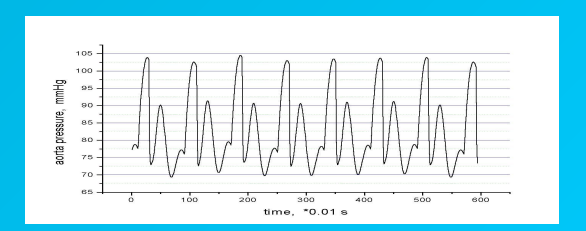


Программный комплекс **CVSS** позволяет с необходимой точностью рассчитывать гидродинамическую картину течения крови на графе, который физиологически адекватен сердечнососудистой системе человека, воспроизводить основные характеристики работы кровеносной системы

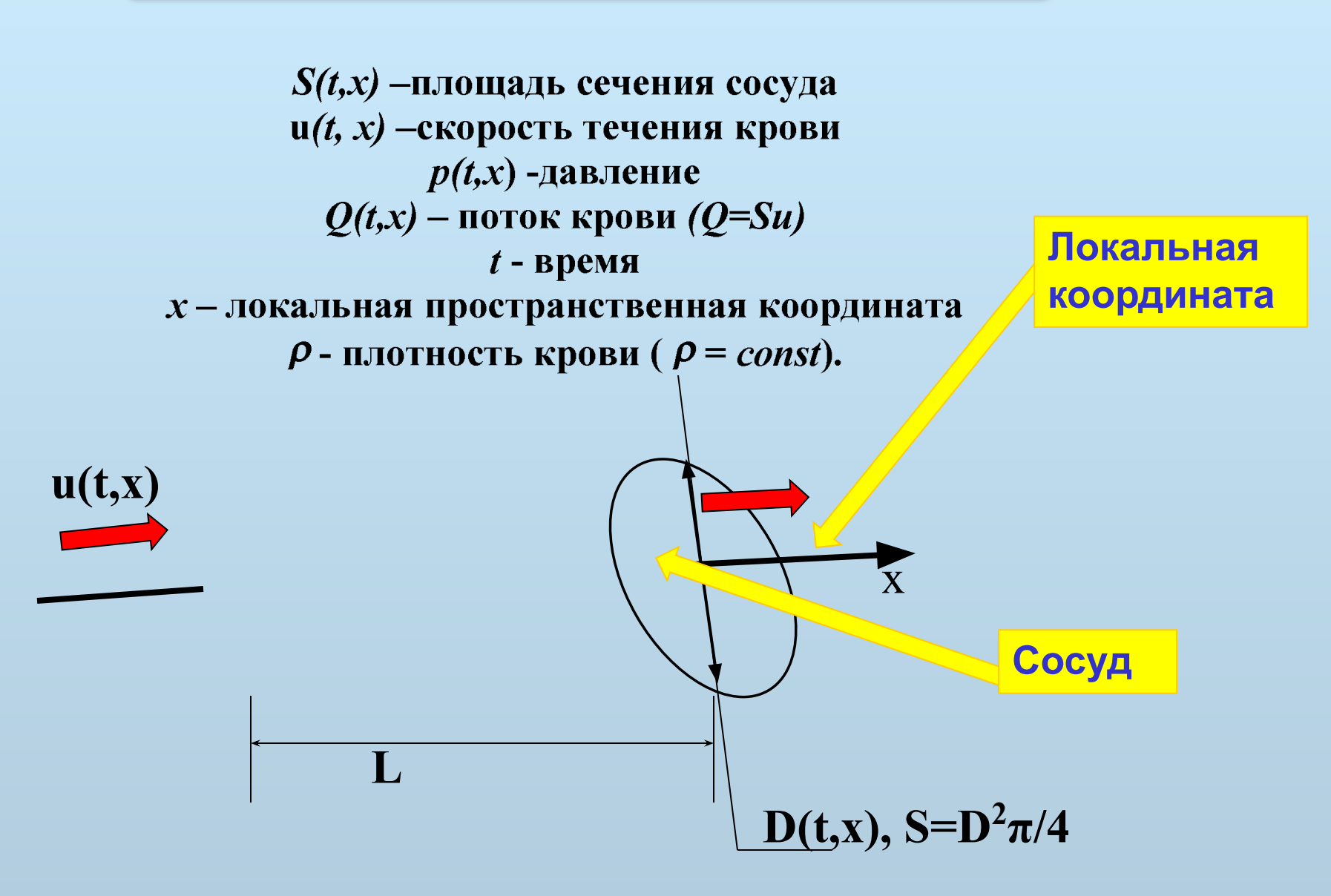
## Использование различных моделей элементов системы кровообращения







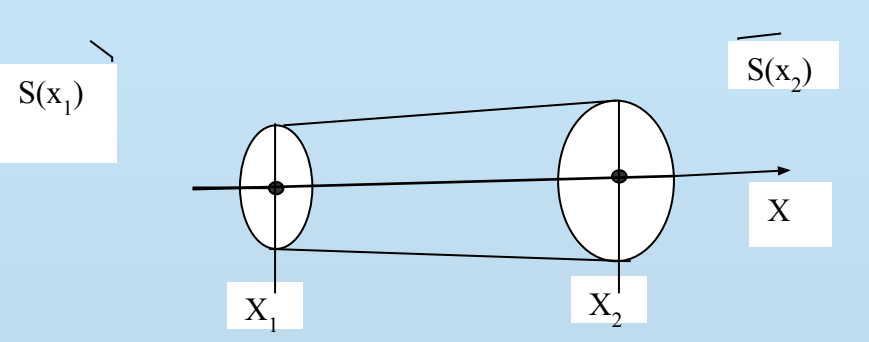
## Обозначения



## Модель гемодинамики в одном сосуде

## Система уравнений гемодинамики в квизиодномерном приближении

Одиночный сосуд рассматриваем как трубку кругового сечения, протяженную по сравнению со своими поперечными размерами. Под эластичностью стенок понимается возможность изменения сечения сосуда под действием давления.



x- координата вдоль оси сосуда, t - время, S(x,t) - площадь сечения сосуда, u(x,t) - скорость движения крови (направлена вдоль оси сосуда), p(x,t) - давление в крови,  $\rho$ =const - плотность крови, L- длина сосуда, F(x,t) объемная плотность силы.

В основу описания движения крови в сосуде положены законы сохранения массы и импульса (количества движения).

## Интегральный вид уравнений

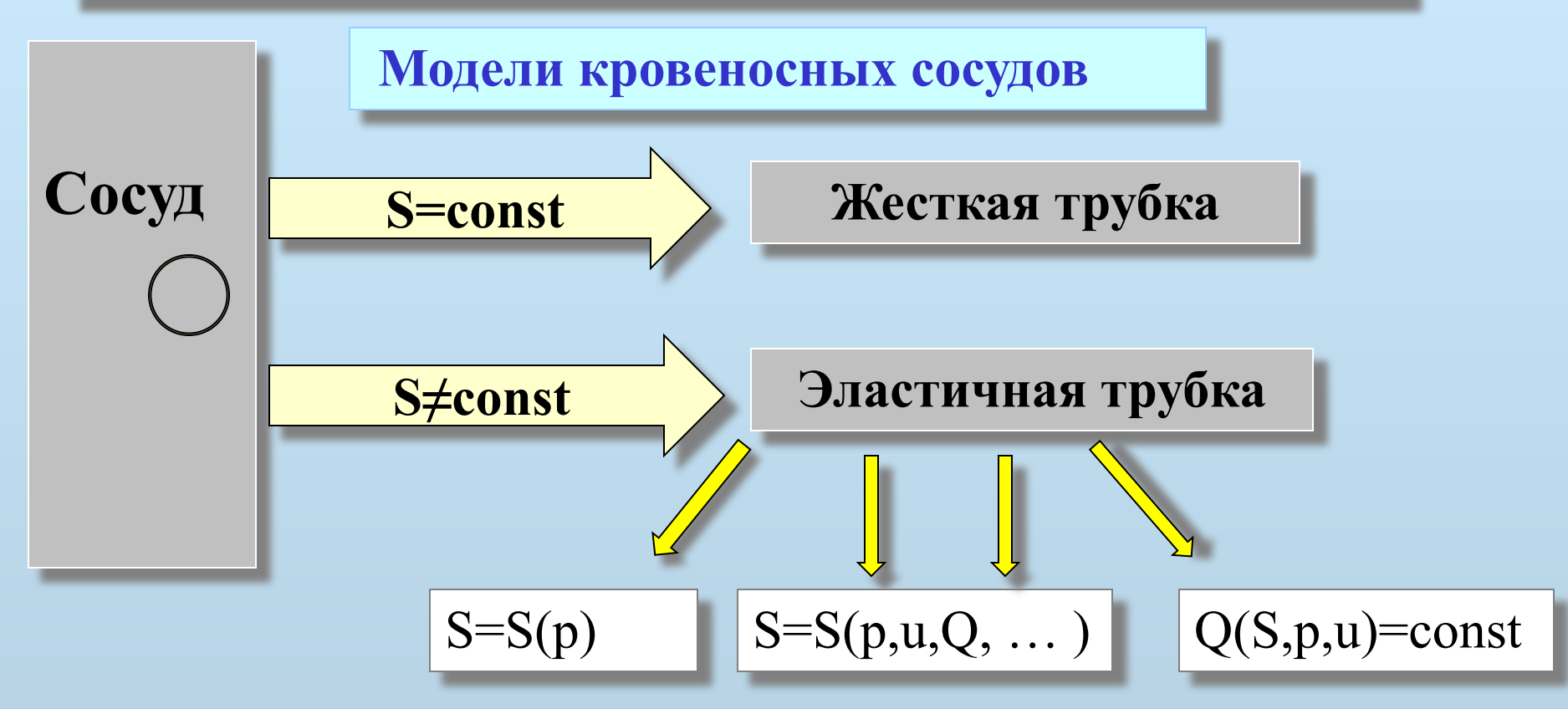
$$\int_{x_1}^{x_2} \rho S(x,t) \Big|_{t_1}^{t_2} dx + \int_{t_1}^{t_2} \rho S(x,t) u(x,t) \Big|_{x_1}^{x_2} dt = 0$$

$$\int_{x_1}^{x_2} \rho Su \Big|_{t_1}^{t_2} dx + \int_{t_1}^{t_2} \rho u^2 S \Big|_{x_1}^{x_2} dt + \int_{t_1}^{t_2} p S \Big|_{x_1}^{x_2} dt = \int_{t_1}^{t_2} \int_{x_1}^{x_2} \rho ds + \int_{t_1}^{t_2} \int_{x_1}^{x_2} F S dx dt$$

S=S(p) — Эмпирическая зависимость площади сечения сосуда от давления.

$$S = S(p) \qquad 0 < x < L, \quad t > 0$$

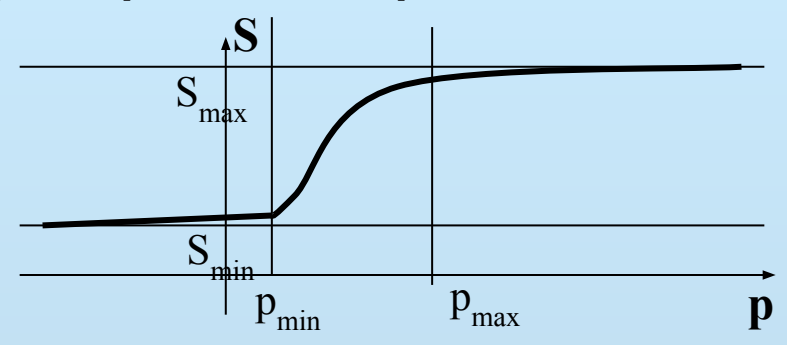
# Последовательность математических моделей



Диаметр сосуда может быть постоянным или переменным и может зависеть от любого числа физических и физиологических параметров, таких как давление, коэффициент эластичности, гравитация и т.д. Эту зависимость мы будем называть "уравнение состояния". Кроме того, будем считать стенки сосуда тонкими.

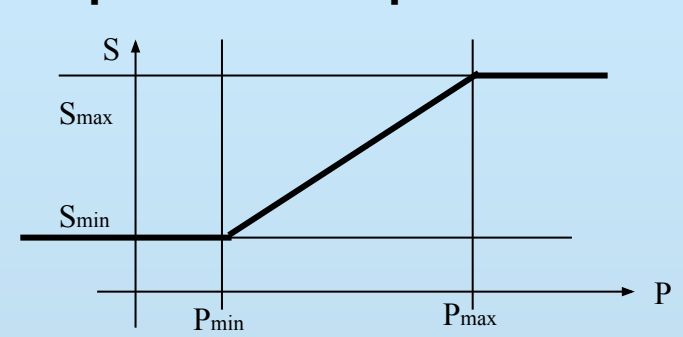
## Уравнение состояния

## Характерный экспериментальный вид *S(p)*



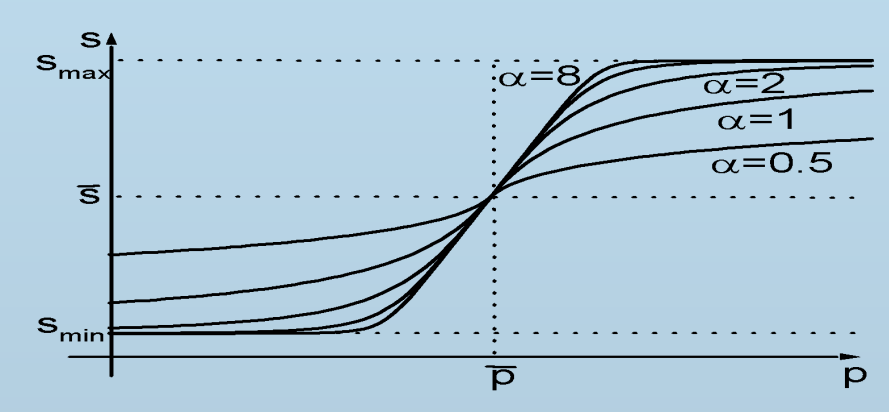
$$\frac{dS}{dp} \ge \mathbf{O} \quad S(p) \to S_{\text{max}} \quad p \to +\infty$$
$$S(p) \to S_{\text{min}} \quad p \to -\infty$$

## Простейшее приближение

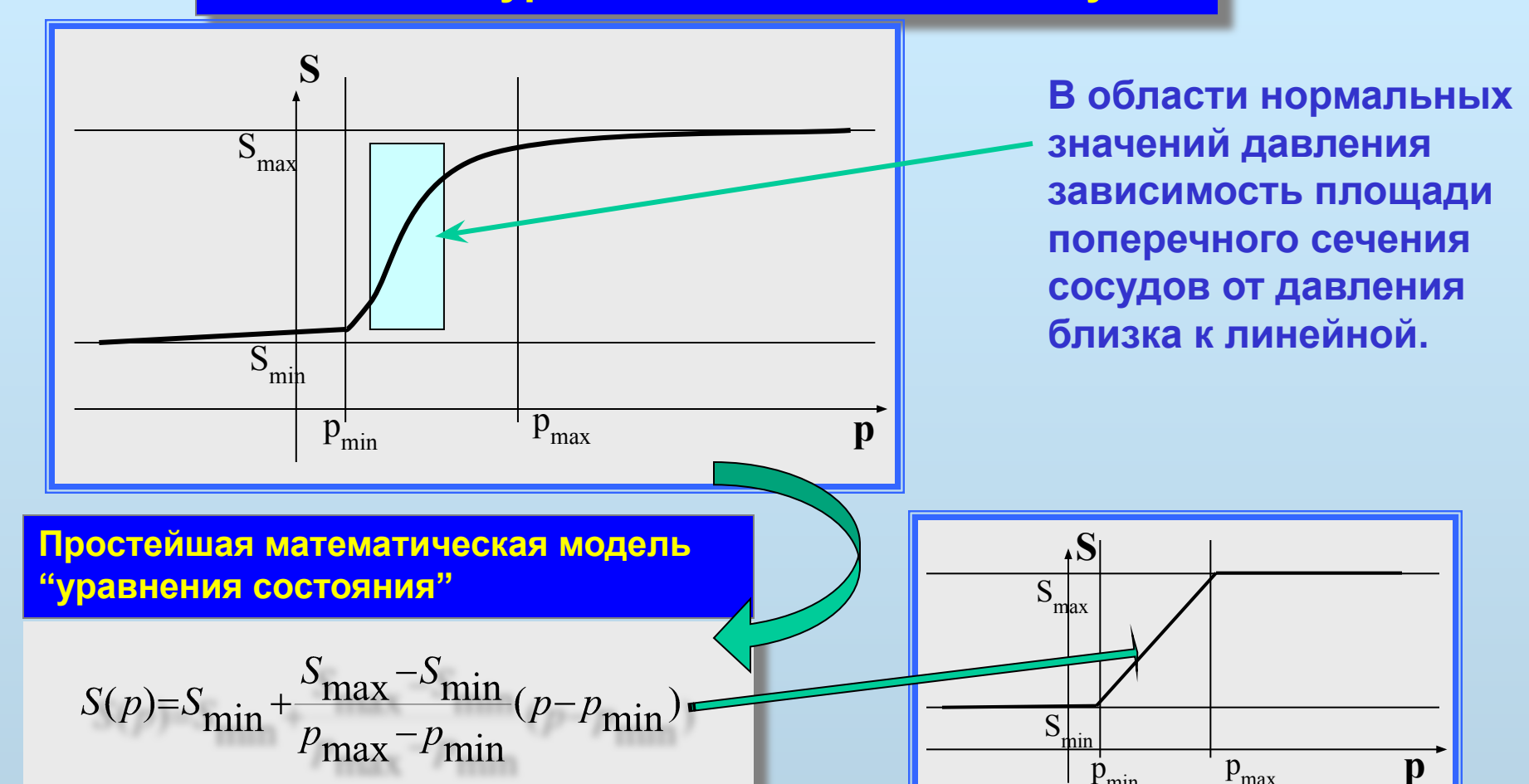


## Нелинейное приближение

$$s = \overline{s} + \alpha \frac{s_{\text{max}} - s_{\text{min}}}{\pi} arctg \left( \frac{\pi}{p_{\text{max}} - p_{\text{min}}} (p - \overline{p}) \right) \quad \text{s}$$

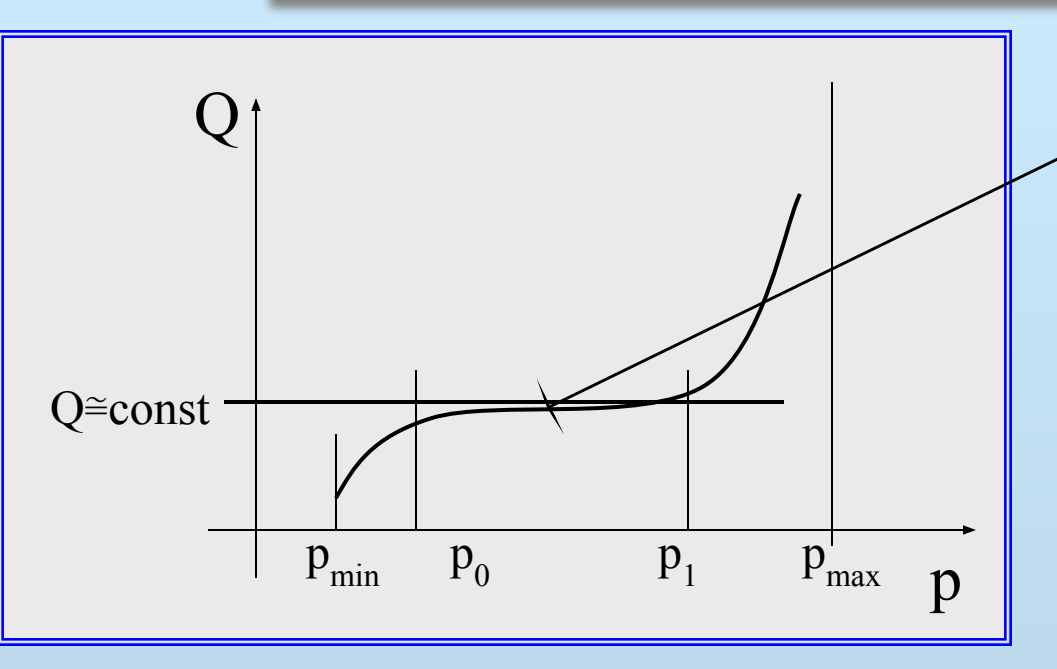


## Типичное «уравнение состояния» сосуда



Зависимость площади поперечного сечения от давления для большинства сосудов может моделироваться этим уравнением как в нормальном состоянии, так даже и в случае некоторых патологий. Заметим, что параметры  $S_{min}$ ,  $S_{max}$ ,  $P_{min}$ ,  $P_{max}$  могут быть функциями времени t и пространственной переменной x. Например, стеноз, вызванный атеросклерозом, может быть промоделирован таким образом.

## Пример специального «уравнения состояния»



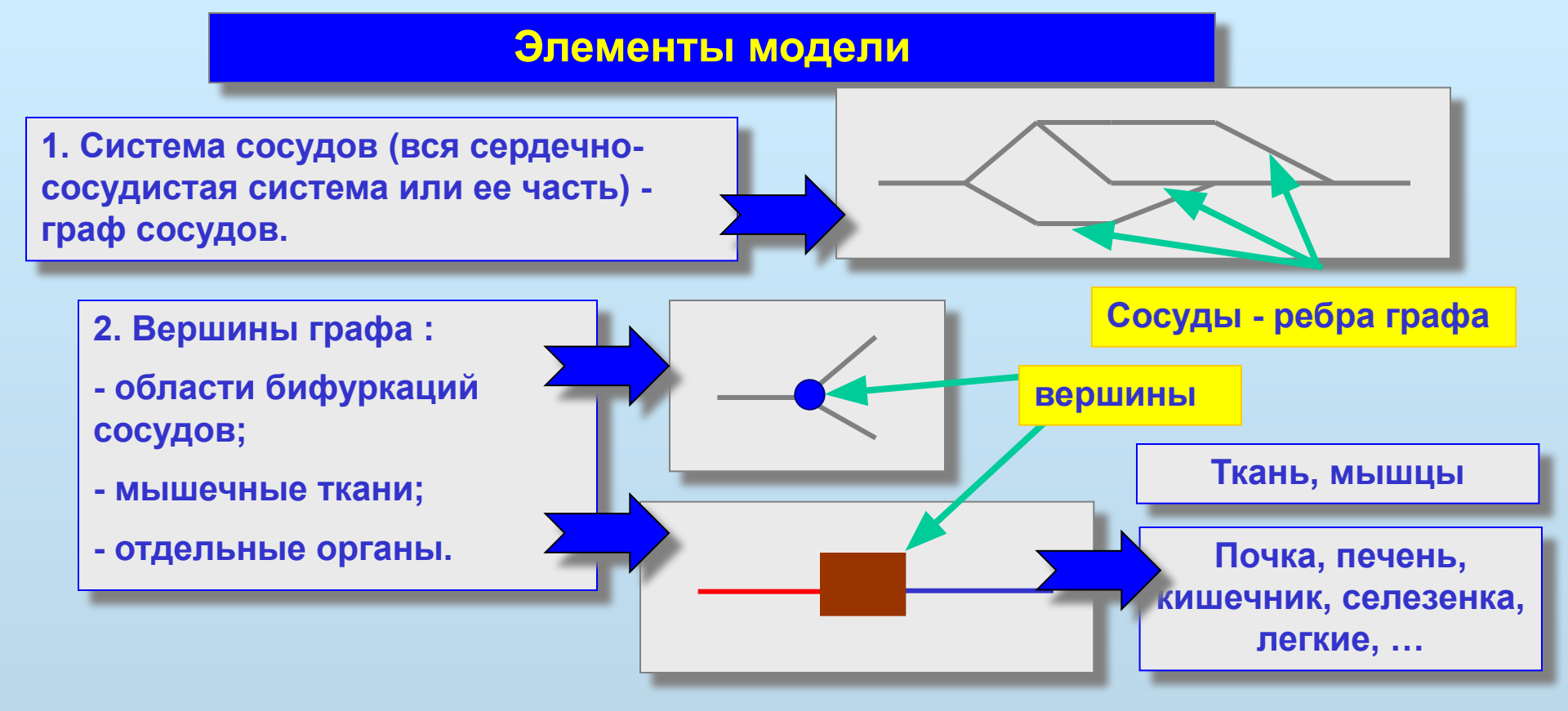
Эффект Остроумова-Балисса в церебральных артериях

Этот эффект можно моделировать уравнением состояния следующего вида



$$S(t,x) = \begin{cases} S = S(p), & p_{\min} \le p \le p_0 \\ S = \frac{Q_0}{u}, & p_0 \le p \le p_1 \\ S = S(p), & p_1 \le p \le p_{\max} \end{cases}$$

Необходимо иметь в виду, что различные формы уравнений состояния могут порождать специфические математические проблемы.

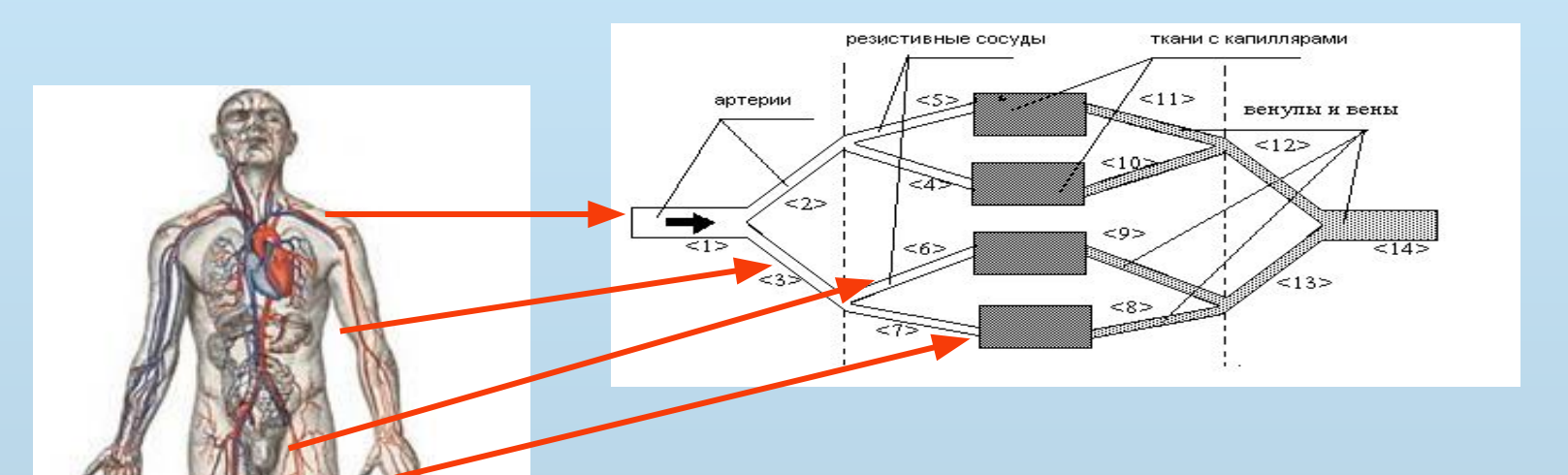


- •Области бифуркации сосудов моделируются законом сохранения потока вещества и условием непрерывности давления или интеграла Бернулли. Области фильтрации крови через ткани моделируются законом сохранения потока вещества и законом фильтрации Дарси.
- •Каждый отдельный орган описывается специальной моделью, которая в простейшем случае является точечной.
- •Модели вершин могут быть любого уровня сложности.

## Уравнения гемодинамики на графе

Ребра графа сопоставляются, как правило, отдельным реальным сосудам кровеносной системы, относящимся к магистральным сосудам крупного и среднего диаметров. Мелкие сосуды могут быть представлены в графе самостоятельно, либо могут быть заменены функциональными элементами.

<u>Вершины</u> графа соответствуют участкам ветвления сосудов, отдельным органам (сердцу, почкам, мышечным тканям и др.).



Каждому ребру графа (сосуду) сопоставлено уравнение состояния (в зависимости от типа сосуда), параметры сосуда уравнения для описания кровотока.

Вершины графа разделяются на внутренние и граничные.

Каждой вершине сопоставляется соответствующий тип (вершина ветвления, ткань, орган и т.п.), соответствующая ей математическая модель и ее параметры.

#### Элементы модели

Большой круг

кровообращения

3. Сердце описывается двух или четырех камерной моделью.

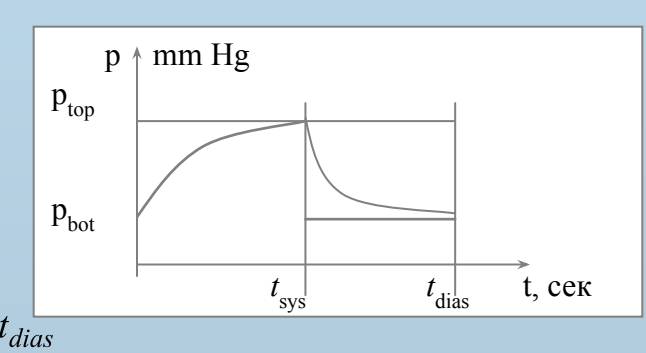
«Двухкамерная» модель сердца состоит из двух элементов- предсердия и желудочка и работает как насос. В течение систолы кровь из желудочка поступает в аорту. Этот процесс регулируется набором параметров: ударный объем, текущий объем предсердия и желудочка, давление в аорте и т.д. В течение диастолы желудочек наполняется.

«Четырех камерная» модель объединяет две «двухкамерные» модели со своими параметрами.

## Пример «двухкамерной» модели сердца

$$Q(t) = \begin{cases} q_{top} - \frac{1}{t_{sys}} (q_{top} - q_{bot})(t - t_{sys})^{2}, 0 \le t \le t_{sys} & V_{k} = V_{KD} - \int_{0}^{t} Q_{A}(\tau) d\tau, 0 < t \le t_{sys} \\ q_{bot}, & t_{sys} < t \le t_{dias} \end{cases}$$

$$V_{k} = V_{KS} + \int_{0}^{t} Q_{V}(\tau) d\tau, t_{sys} < t \le t_{dias}$$



предсердие

желудочек

легкие

#### Модели сердца

## Неконсервативная модель

График функции сердечного выброса приближает экспериментальную кривую потока или

давления

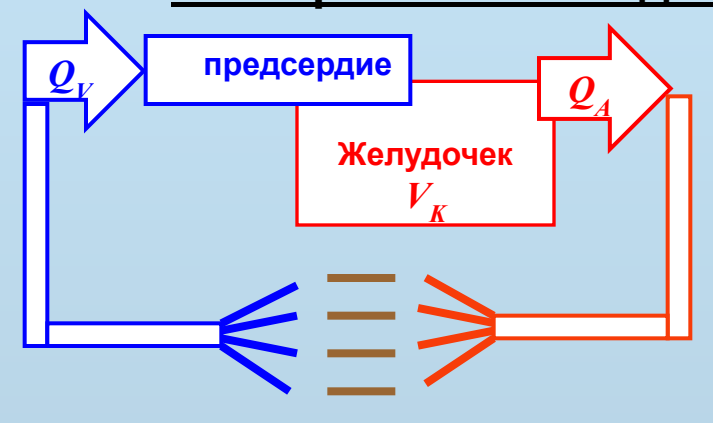
 $t_{\rm S}$  – продолжительность систолы

 $t_D$  – продолжительность диастолы

 $V_{surg}$  – ударный выброс

 $V_{KD}, V_{KS}$  – объемы желудочка в конце диастолы и систолы

Консервативная модель (V<sub>к</sub> – текущий объем крови в желудочке)



$$Q_{A}(t_{S},t_{D}) = \begin{cases} V_{surg}(4t - \frac{3t^{2}}{t_{S}})\frac{1}{t_{S}^{2}}, & 0 \le t \le \longrightarrow \\ 0, & t_{S} \le t \le t_{S} + t_{D} \end{cases}$$
 параметрическая функция выброса

$$V_k = \begin{cases} V_{KD} - \int\limits_0^t Q_A(\tau) d\tau, & 0 < t \le t_S \end{cases}$$
 ВЫЧИСЛЯЕМЫЙ ТЕКУЩИЙ ОБЪЕМ ЖЕЛУДОЧКА ЖЕЛУДОЧКА

заданная

Поток крови Q<sub>v</sub>, поступающий в предсердие, определяется сердечным выбросом и потоком крови во всей системе. Такая модель позволяет сохранять объем циркулирующей крови, исследовать механизмы регуляции.

Регуляция по времени систолы и диастолы :  $V_{surq}$ =const

Регуляция по величине сердечного выброса по конечнодиастолическому объему  $V_{KD}$ :  $V_{surg} = K_f V_{KD}$ 

## Математическая модель на графе

1. Каждому ребру графа сопоставлена система уравнений гемодинамики

$$\frac{\partial S}{\partial t} + \frac{\partial uS}{\partial x} = 0$$

$$\frac{\partial u}{\partial t} + \frac{\partial}{\partial x} (\frac{u^2}{2}) + \frac{1}{\rho} \frac{\partial p}{\partial x} = F_T + F_{TP}$$

$$s = s(p) .$$

$$\frac{dS}{dp} \ge 0.$$

2. Каждой вершине графа, соответствующей области бифуркации сосудов, сопоставлено уравнение неразрывности и условие непрерывноинтеграла Бернулли.

$$\sum_{i} z_{i} s_{i} u_{i} = 0,$$

$$\frac{u_i^2}{2} + \frac{p_i}{\rho} = \frac{u_j^2}{2} + \frac{p_j}{\rho}, \quad i \neq j$$

*у́,j* –номера всех ребер, соединенных с каждой вершиной бифуркации, *z<sub>i</sub>*=±1

3. Каждой вершине графа, соответствующей тканям, сопоставлено уравнение сохранения вещества и уравнение фильтрации Дарси.

$$z_i s_i u_i + z_j s_j u_j = 0, \quad z_i s_i u_i = k_d (p_i - p_j),$$

 $K_{d}$ - коэффициент фильтрации

#### ОБОЗНАЧЕНИЯ

S(t,x) –площадь поперечного сечения

 $\mathbf{u}(t, x)$  -скорость потока крови

| *p(t,x*) -давление

*t* - время

x - локальная пространственная координата

 $\rho$  - плотность крови (  $\rho$  = const).

 ${\mathbb F}_{\scriptscriptstyle{
m T}}$ - сила трения

 $\mathbf{F}_{\scriptscriptstyle \mathrm{T}}$ – сила тяжести

## Свойства уравнений гемодинамики (ГД)

Система уравнений гемодинамики (ГД) имеет гиперболический тип при условии, что для уравнения состояния выполнено неравенство dS/dp>0. В этом случае имеется две характеристики, два соотношения на характеристиках, скорость распространения малых возмущений.

$$\frac{\partial s}{\partial t} + \frac{\partial us}{\partial x} = 0,$$

$$\frac{\partial u}{\partial t} + \frac{\partial}{\partial x} \left( \frac{u^2}{2} + \frac{p}{\rho} \right) = F_T + F_{TP},$$

$$s = s (p)$$

$$\frac{ds}{dp} > 0$$

Так как давление в кровеносной системе мало отклоняется от своего среднего значения, в ряде случаев поведение системы удовлетворительно описывается линеаризованными уравнениями гемодинамики ( ЛГД ).

Характеристики

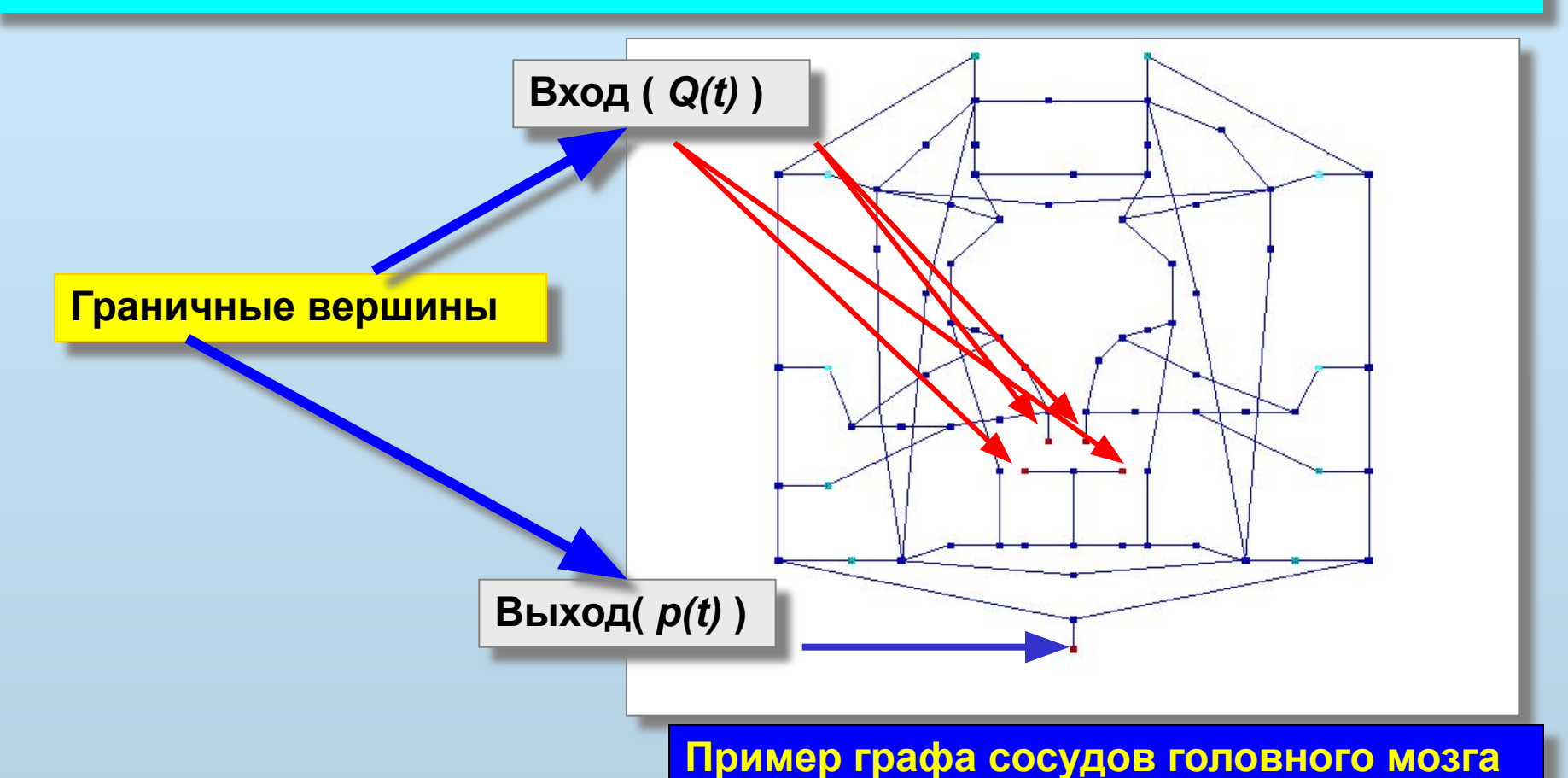
Скорость халых возмущений

Соотношения на характеристиках

$$\frac{dx}{dt} = u \pm c, 
c = \sqrt{\frac{s}{\rho \theta}}, \qquad \frac{|u|}{c} = M << 1$$

$$\pm 2\frac{d(\sqrt{s})}{\sqrt{\rho\theta}} + du = (F_T + F_{TP})dt$$

4. В граничных вершинах графа должны быть заданы краевые условия. Это, например, самосогласованная модель сердца или некоторые законы изменения потоков или давления.



5. При моделировании процессов переноса растворенных в крови веществ в вершинах графа формулируются дополнительные уравнения, описывающие эти процессы.

#### Перенос веществ по графу сосудов

Перенос вещества с массовой концентрацией C с учетом диффузии (D=constкоэффициент диффузии) по сосуду с переменным сечением описывается

дифференциальным уравнением

$$\frac{\partial C}{\partial t} + u \frac{\partial C}{\partial x} = \frac{D}{S} \frac{\partial}{\partial x} (S \frac{\partial C}{\partial x})$$
 число Маха M<<1, сечение сосудов ограничено снизу

$$\frac{\partial C}{\partial t} + u \frac{\partial C}{\partial x} = D \frac{\partial^2 C}{\partial x^2}$$

## Уравнения переноса вещества для графа

$$\frac{\partial C_{l,k}}{\partial t} + U_k \frac{\partial C_{l,k}}{\partial x} = D \frac{\partial^2 C_{l,k}}{\partial x^2} + f_{l,k}(x,t) + \varphi_k(C_{1,k},...,C_{l_c,k})$$

$$\sum_{i \in III(m)} Z_i S_i \left( C_{l,i} U_i - D \frac{\partial C_{l,i}}{\partial x} \right) + f_m = 0$$

$$C_{l,k,j} = C_{l,k,j}, \quad i \neq j, \quad i,j \in III(m)$$

$$C_{l,k,j} = C_{l,k,j}, \quad i \neq j, \quad i,j \in III(m)$$

$$C_{l,k,j} - \text{концентрация } I\text{-ого вещества в } k - \text{ом сосуде, } f - \text{источник }, \phi - \text{химические реакции.}$$
В вершинах ветвления - закон Киргхофа с учетом диффузии и равенство

В вершинах ветвления - закон Киргхофа с учетом диффузии и равенство соответствующих концентраций.

## Уравнения для концентраций в сердце

Рассматривается случай полного перемешивания веществ  $C_{i}$  в желудочке. Позволяют рассматривать замкнутую систему кровообращения с сохранением количества веществ во всей системе.

$$C_{l}(t+\Delta t) = \left(-\int_{t}^{t+\Delta t} \left(S_{a}C_{l,a}u_{a} - DS_{a}\frac{\partial C_{l,a}}{\partial x}\right)dt + C_{l}(t)V(t)\right)\left(\int_{t}^{t+\Delta t} S_{a}u_{a}dt + V(t)\right)^{-1}$$

Здесь t – время начала диастолы, а  $\Delta t$  изменяется от нуля до величины равной продолжительности диастолы. Индекс а обозначает аорту. Аналогичное выражение выписывается для концентраций во время систолы.

## Численный алгоритм и программный комплекс

## Уравнения гемодинамики на ребре і

$$\frac{\partial S_i}{\partial t} + \frac{\partial u_i S_i}{\partial x} = 0 \quad \frac{\partial u_i}{\partial t} + u_i \frac{\partial u_i}{\partial x} + \frac{1}{\rho} \frac{\partial p_i}{\partial x} = \frac{F_i}{\rho} \qquad 0 < x < l_i \qquad +$$

$$S_i(x) = S_i(p_i(x)) \qquad F_i = -8\pi v \frac{u_i}{S_i} + g \cos \varphi_i \qquad t > 0$$

Уравнения сопряжения и граничные условия

## Неявная разностная схема

(на каждом ребре)

$$s_{t} + (su)_{0}^{(\sigma_{1})} = (a_{s} s_{\bar{x}})_{x}^{(0.5)} - \lambda_{1} \beta_{1} u_{\bar{x}xt} - \lambda_{2} \beta_{2} s_{\bar{x}xt} + \frac{1}{2} (u^{2})_{0}^{(\sigma_{2})} + \frac{1}{\rho} (p)_{0}^{(\sigma_{3})} = F + (a_{u} u_{\bar{x}})_{x}^{(0.5)} - \lambda_{3} \beta_{3} u_{\bar{x}xt} - \lambda_{4} \beta_{4} s_{\bar{x}xt}$$

$$s = S(p)$$

Неявная аппроксимация уравнений сопряжения и граничных условий

 $\sigma_{i}$ , **i=1,2,3,4** - весовые коэффициенты

 $a_{\rm S}$  , $a_{\rm u}$  – коэффициенты искусственной вязкости

 $m{\lambda_i}$ ,  $m{\beta_I}$ — коэффициенты искусственной дисперсии, например  $m{\beta_2}$   $\left| \frac{h^2}{6} + \frac{\tau^2}{12} \left| u^2 + \frac{s}{\rho S_n'(p)} \right| \right|$ 

$$\left[\frac{h^2}{6} + \frac{\tau^2}{12} \left(u^2 + \frac{s}{\rho S_p'(p)}\right)\right]$$

Разностная схема апробирована на точных аналитических решениях

#### Линеаризация по Ньютону

$$p^{k+1} = p^k + \delta p^k$$
,  $u^{k+1} = u^k + \delta u^k$ ,  $s^{k+1} = s(p^{k+1})$ .

Линеаризованное разностное уравнение неразрывности в каждом внутреннем узле Ј дискретной сетки на каждом ребре графа

$$As_{j}^{1} \delta p_{j-1}^{k} + As_{j}^{2} \delta p_{j}^{k} + As_{j}^{3} \delta p_{j+1}^{k} + Bs_{j}^{1} \delta u_{j-1}^{k} + Bs_{j}^{2} \delta u_{j}^{k} + Bs_{j}^{3} \delta u_{j+1}^{k} = -Fs_{j}$$

$$As_{j}^{1} = -(\frac{u_{j-1}^{k}}{2} + \frac{a_{j-1/2}^{k}}{h})\frac{\sigma_{1}\tau}{h}\theta_{j-1}^{k}, \quad Bs_{j}^{1} = -\frac{\sigma_{1}\tau}{2h}s_{j-1}^{k}, \quad Fs_{j} = s_{j}^{k} - \frac{\mathbb{N}}{s} + (s_{j+1}^{k}u_{j+1}^{k} - s_{j-1}^{k}u_{j-1}^{k})\frac{\sigma_{1}\tau}{2h} + (\frac{\mathbb{N}}{s_{j+1}}u_{j+1}^{k} - \frac{\mathbb{N}}{s_{j-1}}u_{j-1}^{k})\frac{(1-\sigma_{1})\tau}{2h} - (a_{j+1/2}^{k}s_{j+1}^{k} - (a_{j+1/2}^{k} + a_{j-1/2}^{k})s_{j}^{k} + a_{j-1/2}^{k}s_{j-1}^{k})\frac{\sigma_{1}\tau}{h^{2}} - As_{j}^{3} = (\frac{u_{j+1}^{k}}{2} - \frac{a_{j+1/2}^{k}}{h})\frac{\sigma_{1}\tau}{h^{2}}\theta_{j+1}^{k}, \quad Bs_{j}^{3} = \frac{\sigma_{1}\tau}{2h}s_{j+1}^{k}, \quad -(\frac{\mathbb{N}}{a_{j+1/2}}s_{j+1}^{k} - (a_{j+1/2}^{k} + a_{j-1/2}^{k})s_{j}^{k} + a_{j-1/2}^{k}s_{j-1}^{k})\frac{(1-\sigma_{1})\tau}{h^{2}} - (a_{j+1/2}^{k}s_{j+1}^{k} - (a_{j+1/2}^{k}s_{j+1}^{k} - a_{j-1/2}^{k}s_{j+1}^{k})\frac{(1-\sigma_{1})\tau}{h^{2}} - (a_{j+1/2}^{k}s_{j+1}^{k} - a_{j+1/2}^{k}s_{j+1}^{k} - a_{j+1/2}^{k}s_{j+1}^{k} - a_{j+1/2}^{k}s_{j+1}^{k})\frac{(1-\sigma_{1})\tau}{h^{2}} - (a_{j+1/2}^{k}s_{j+1}^{k} - a_{j+1/2}^{k}s_{j+1}^{k} - a_{j+1/2}^{k}s_{j+1}^{k})\frac{(1-\sigma_{1})\tau}{h^{2}} - a_{j+1/2}^{k}s_{j+1}^{k}s_{j+1}^{k}$$

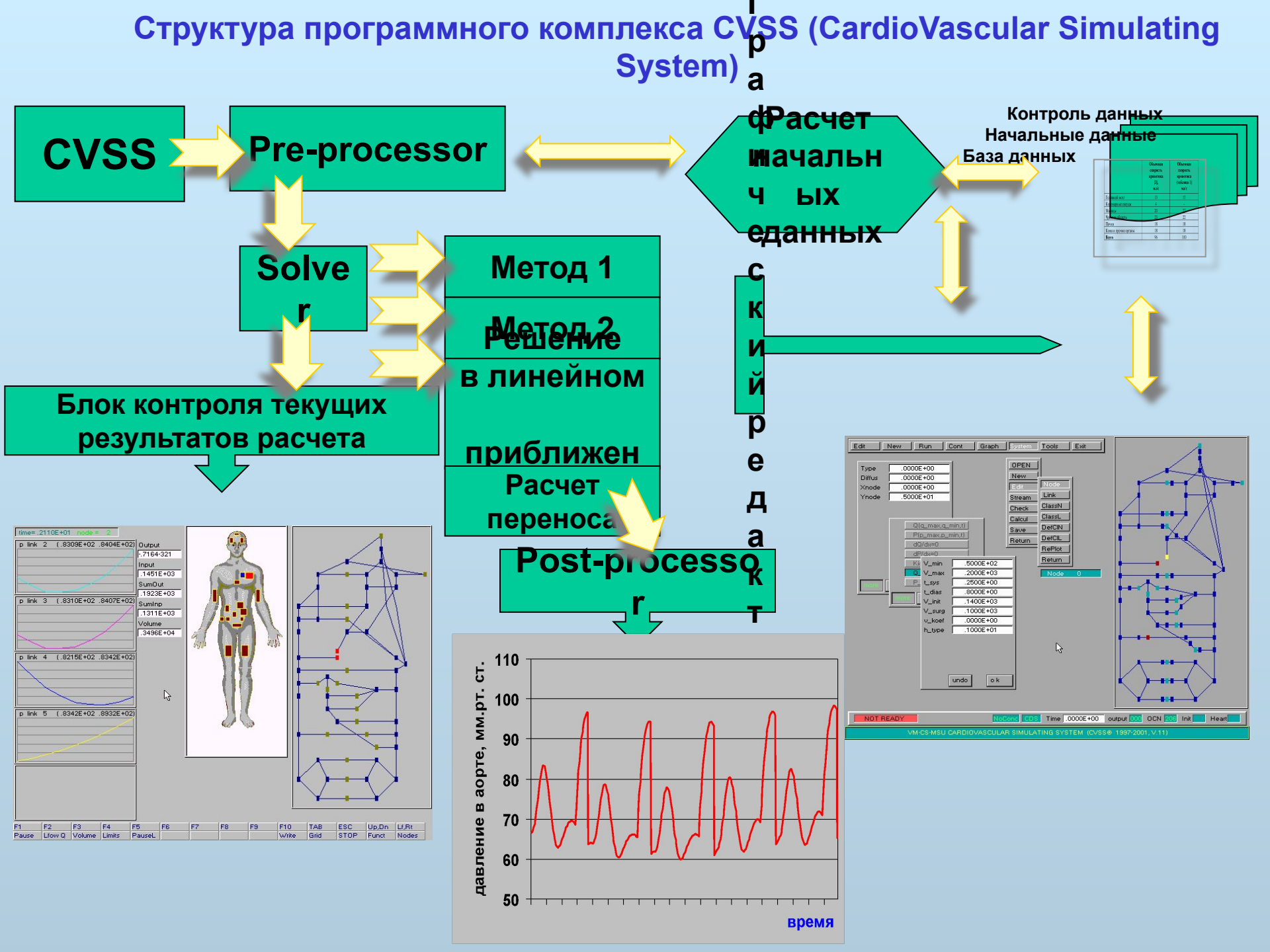
#### Линеаризованное разностное уравнение движения

$$Au_{j}^{1} \delta p_{j-1}^{k} + Au_{j}^{2} \delta p_{j}^{k} + Au_{j}^{3} \delta p_{j+1}^{k} + Bu_{j}^{1} \delta u_{j-1}^{k} + Bu_{j}^{2} \delta u_{j}^{k} + Bu_{j}^{3} \delta u_{j+1}^{k} = -Fu_{j}^{k}$$

$$Au_{j}^{1} = -\frac{\sigma_{3}\tau}{2\rho h}, \qquad Bu_{j}^{1} = -(\frac{u_{j-1}^{k}}{2} + \frac{a_{j-1/2}^{k}}{h})\frac{\sigma_{2}\tau}{h}, \qquad Fu_{j} = u_{j}^{k} - u_{j}^{k} + (u_{j+1}^{k})^{2} - (u_{j-1}^{k})^{2})\frac{\sigma_{2}\tau}{4h} + (u_{j+1}^{k} - u_{j-1}^{k})\frac{(1 - \sigma_{2})\tau}{4h} + (u_{j+1}^{k} - u_{j-1}^{k})\frac{\sigma_{2}\tau}{4h} + (u_{j+1}^{k} - u_{j-1}^{k})\frac{(1 - \sigma_{3})\tau}{2\rho h} - u_{j}^{k} + u_{j}^{k} + u_{j}^{k} + u_{j}^{k} + u_{j+1}^{k} - u_{j-1}^{k} - u_{j-1}^{k} - u_{j+1}^{k} - u_{j-1}^{k} - u_{j+1}^{k} - u_{j-1}^{k} - u_{j+1}^{k} - u_{j-1}^{k} - u_{$$

## Разработан программный комплекс, который позволяет:

- задавать граф сосудов произвольной сложности;
- задавать параметры сосудов графа, как по отдельности, так и групповым образом;
- выбирать модели для описания сосудов и органов и задавать их параметры;
- выбирать метод расчета и его параметры;
- осуществлять контроль за корректностью и непротиворечивостью задания начальных данных, как физиологических, так и вычислительных;
- отображать в ходе расчета необходимую информацию в численном или графическом виде, как локальную в любой точке рассматриваемого графа так и интегральную и записывать численные данные для дальнейшей обработки;
- в режиме текущего расчета изменять топологию графа, параметры моделей и алгоритма;
- обрабатывать результаты численного расчета после окончания или прерывания данной сессии моделирования;
- реализовать расширяемость комплекса за счет включения новых моделей и процессов.



## Численные методы и алгоритмы

1. Разработан специальный формат описания произвольного графа сосудов.

2. На каждом ребре графа использована однородная консервативная разностная схема второго порядка аппроксимации.

 $As_{j}^{2} = (1 + (a_{j+1/2}^{k} + a_{j-1/2}^{k}) \frac{\sigma_{1}\tau}{h^{2}})\theta_{j}^{k},$ 

$$As_{j}^{3} = \left(\frac{u_{j+1}^{k}}{2} - \frac{a_{j+1/2}^{k}}{h}\right) \frac{\sigma_{1}\tau}{h} \theta_{j+1}^{k},$$

3. Разработана упрощенная конечно разностная схема для решения уравнений гемодинамики.

$$Bs_j^1 = -rac{\sigma_1 au}{2h}s_{j-1}^k,$$

$$Bs_j^2 = 0$$

$$Bs_j^3 = rac{\sigma_1 au}{2h} s_{j+1}^k$$

4. Полная нелинейная система разностных уравнений решается с использованием итерационных методов (метод Ньютона).

$$Fs_{j} = s_{j}^{k} - \bar{s} + (s_{j+1}^{k} u_{j+1}^{k} - s_{j-1}^{k} u_{j-1}^{k}) \frac{\sigma_{1} \tau}{2h} + (\bar{s}_{j+1}^{N} \bar{u}_{j+1}^{N} - \bar{s}_{j-1}^{N} \bar{u}_{j-1}^{N}) \frac{(1 - \sigma_{1}) \tau}{2h} - \bar{s}_{j-1}^{N} \bar{u}_{j-1}^{N} + (\bar{s}_{j+1}^{N} \bar{u}_{j+1}^{N} - \bar{s}_{j-1}^{N} \bar{u}_{j-1}^{N}) \frac{(1 - \sigma_{1}) \tau}{2h} - \bar{s}_{j-1}^{N} \bar{u}_{j-1}^{N} + (\bar{s}_{j+1}^{N} \bar{u}_{j+1}^{N} - \bar{s}_{j-1}^{N} \bar{u}_{j+1}^{N}) \frac{(1 - \sigma_{1}) \tau}{2h} - \bar{s}_{j-1}^{N} \bar{u}_{j+1}^{N} - \bar{s}_{j-1}^{N} \bar{u}_{j$$

- 
$$(a_{j+1}^k S_{j+1}^k - (a_{j+1/2}^k + a_{j-1/2}^k) S_j^k + a_{j-1/2}^k S_{j-1}^k) \frac{\sigma_1 \tau}{h^2}$$
 -  $(a_{j+1}^k S_{j+1}^k - (a_{j+1/2}^k + a_{j-1/2}^k) S_j^k + a_{j-1/2}^k S_{j-1}^k) \frac{\sigma_1 \tau}{h^2}$  -  $(a_{j+1/2}^k S_{j+1}^k - (a_{j+1/2}^k + a_{j-1/2}^k) S_j^k + a_{j-1/2}^k S_{j-1}^k) \frac{\sigma_1 \tau}{h^2}$  .

использованием прямых методов.

## Линейное приближение для уравнений гемодинамики (ЛГД)

Эволюция малых возмущений средних стационарных значений скорости и давления в потоке крови описывается на каждом ребре графа сосудистой системы линеаризованными уравнениями гемодинамики:

$$\begin{cases} p_{i t} + \overline{u}_{i} p_{i x_{i}} + \rho \overline{c}_{i}^{2} u_{i x_{i}} = 0, \\ u_{i t} + \frac{1}{\rho} p_{i x_{i}} + \overline{u}_{i} u_{i x_{i}} = 0, \end{cases}$$

$$\overline{c}_{i} = \sqrt{\frac{\overline{s}_{i}}{\rho \overline{\theta}_{i}}},$$

$$\overline{s}_{i} = S_{i}(\overline{p}_{i}), \quad \overline{\theta}_{i} = \frac{dS_{i}(P_{i})}{dP_{i}}\Big|_{P_{i} = \overline{p}_{i}}.$$

Эта система уравнений замыкается линеаризованными условиями сопряжения во внутренних вершинах графа:

$$\begin{split} &\sum_{i} z_{i}(\overline{s}_{i}u_{i}(x_{i, \epsilon p}, t) + \overline{\theta}_{i}\overline{u}_{i}p_{i}(x_{i, \epsilon p}, t)) = 0, \\ &i \\ &\overline{\alpha}_{i}p_{i}(x_{i, \epsilon p}, t) + \overline{\beta}_{i}u_{i}(x_{i, \epsilon p}, t) = \overline{\alpha}_{j}p_{j}(x_{j, \epsilon p}, t) + \overline{\beta}_{j}u_{j}(x_{j, \epsilon p}, t), \end{split}$$

и линеаризованными краевыми условиями в граничных вершинах графа.

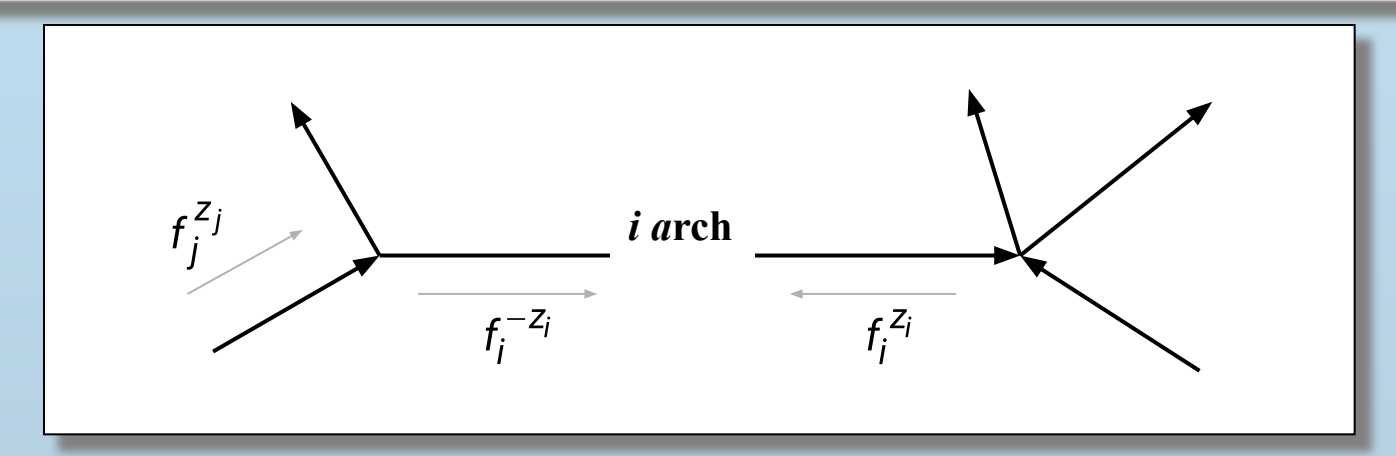
Общее решение ЛГД уравнений на любом і-ом ребре графа представляет собой суперпозицию двух произвольных волн, распространяющихся в противополежных направлениях (|u|<c):

$$p_{i}(x_{i},t) = z_{i} \frac{\rho \, \overline{c}_{i}}{2} \Big( f_{i}^{z_{i}}(x_{i} - \overline{\lambda}_{i}^{z_{i}}t) - f_{i}^{-z_{i}}(x_{i} - \overline{\lambda}_{i}^{-z_{i}}t) \Big), \qquad u_{i}(x_{i},t) = \frac{1}{2} \Big( f_{i}^{z_{i}}(x_{i} - \overline{\lambda}_{i}^{z_{i}}t) + f_{i}^{-z_{i}}(x_{i} - \overline{\lambda}_{i}^{-z_{i}}t) \Big),$$

$$u_i(x_i,t) = \frac{1}{2} \Big( f_i^{z_i} (x_i - \overline{\lambda_i}^{z_i} t) + f_i^{-z_i} (x_i - \overline{\lambda_i}^{-z_i} t) \Big),$$

$$\overline{\lambda}_i^{z_i} = \overline{u}_i + z_i \overline{c}_i, \quad \overline{\lambda}_i^{-z_i} = \overline{u}_i - z_i \overline{c}_i, \quad i = 1, ..., n.$$

Волны скорости и давления, проходя через вершины графа, меняют величину своих амплитуд и фазу



$$f_{i}^{-z_{i}}\left(x_{i}-\overline{\lambda}_{i}^{-z_{i}}t\right)=\sum_{j\in\Omega(k)}\kappa_{j\to i}^{u}f_{j}^{z_{j}}\left(x_{j, \Gamma p.}-\frac{\overline{\lambda}_{j}^{z_{j}}}{\overline{\lambda}_{i}^{-z_{i}}}\left(x_{i, \Gamma p.}-\left(x_{i}-\overline{\lambda}_{i}^{-z_{i}}t\right)\right)\right)$$

## Бегущие волны определяются следующей формулой:

$$f_{i}^{-Z_{i}}(x_{i}-\overline{\lambda_{i}^{-Z_{i}}}t) = \begin{cases} -\frac{Z_{i}}{\rho\overline{C}_{i}}\varphi_{i}(x_{i}-\overline{\lambda_{i}^{-Z_{i}}}t) + \psi_{i}(x_{i}-\overline{\lambda_{i}^{-Z_{i}}}t), & \text{если}x_{i,\ rp.} - I_{i} \leq Z_{i}(x_{i}-\overline{\lambda_{i}^{-Z_{i}}}t) \leq x_{i,\ rp.}; \\ \sum_{j \in \Omega(k)} \kappa_{j \to i}^{u} \left(\frac{Z_{j}}{\rho\overline{C}_{j}}\varphi_{j}\left(x_{j,\ rp.}-\frac{\overline{\lambda_{j}^{Z_{j}}}}{\overline{\lambda_{i}^{-Z_{i}}}}\left(x_{i,\ rp.}-(x_{i}-\overline{\lambda_{i}^{-Z_{i}}}t)\right)\right) + \\ +\psi_{j}\left(x_{j,\ rp.}-\frac{\overline{\lambda_{j}^{Z_{j}}}}{\overline{\lambda_{i}^{-Z_{i}}}}\left(x_{i,\ rp.}-(x_{i}-\overline{\lambda_{i}^{-Z_{i}}}t)\right)\right) + G_{i}\left(\frac{1}{\overline{\lambda_{i}^{-Z_{i}}}}\left(x_{i,\ rp.}-(x_{i}-\overline{\lambda_{i}^{-Z_{i}}}t)\right)\right), \\ \text{если } x_{i,\ rp.} < z_{i}(x_{i}-\overline{\lambda_{i}^{-Z_{i}}}t) \leq x_{i,\ rp.}-z_{i}\,\overline{\lambda_{i}^{-Z_{i}}}T, \ \forall i \in \Omega(k), \ k = 1,...,m. \end{cases}$$

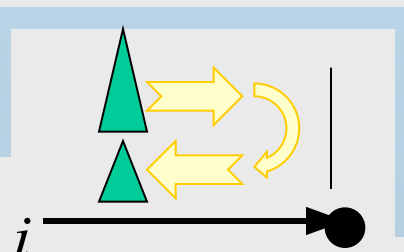
 $\kappa^{\it U}_{i 
ightarrow i} - «транспортные коэффициенты». Они численно равны отношению амплитуды волн скорости и дав$ 

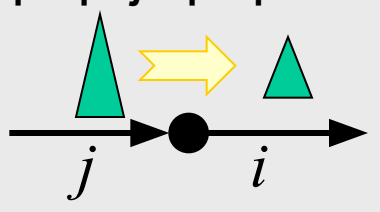
Они численно равны отношению амплитуды волн скорости и давления до и после их взаимодействия с вершинами графа сосудов.

$$\kappa_{j\to i}^{u} = -\frac{2z_{i}z_{j}\bar{s}_{j}(\rho\bar{\alpha}_{j}\bar{c}_{j} - \bar{\beta}_{j}\bar{m}_{j})}{(\rho\bar{\alpha}_{i}\bar{c}_{i} - z_{i}\bar{\beta}_{i})(\rho\bar{\alpha}_{j}\bar{c}_{j} - z_{j}\bar{\beta}_{j})\sum_{l=1}^{n}\frac{\bar{s}_{l}(1 - z_{l}\bar{m}_{l})}{\rho\bar{\alpha}_{l}\bar{c}_{l} - z_{l}\bar{\beta}_{l}}$$

$$\kappa_{i \to i}^{u} = \frac{\rho \overline{\alpha}_{i} \overline{c}_{i} + z_{i} \overline{\beta}_{i}}{\rho \overline{\alpha}_{i} \overline{c}_{i} - z_{i} \overline{\beta}_{i}} - \frac{2 \overline{s}_{i} (\rho \overline{\alpha}_{i} \overline{c}_{i} - \overline{\beta}_{i} \overline{m}_{i})}{(\rho \overline{\alpha}_{i} \overline{c}_{i} - z_{i} \overline{\beta}_{i})^{2} \sum_{l=1}^{n} \frac{\overline{s}_{l} (1 - z_{l} \overline{m}_{l})}{\rho \overline{\alpha}_{l} \overline{c}_{l} - z_{l} \overline{\beta}_{l}},$$

Коэффициент прохождения волны скорости через вершину графа из ребра j в ребро i

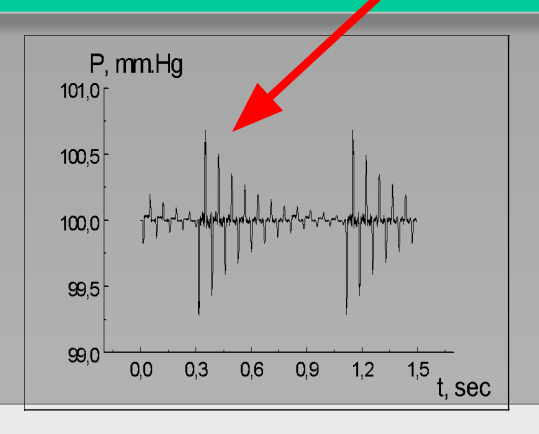




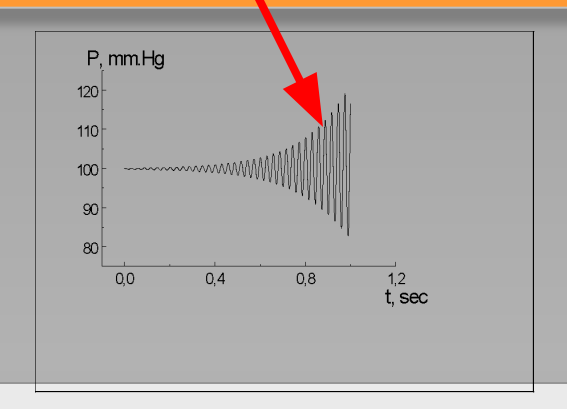
Коэффициент отражения волны скорости от вершины графа на ребре *i* 

## Режимы распространения пульсовых волн давления и скорости по артериальной части сосудистой системы

## Режим с ограниченной амплитудой волн



Режим с растущей амплитудой волн

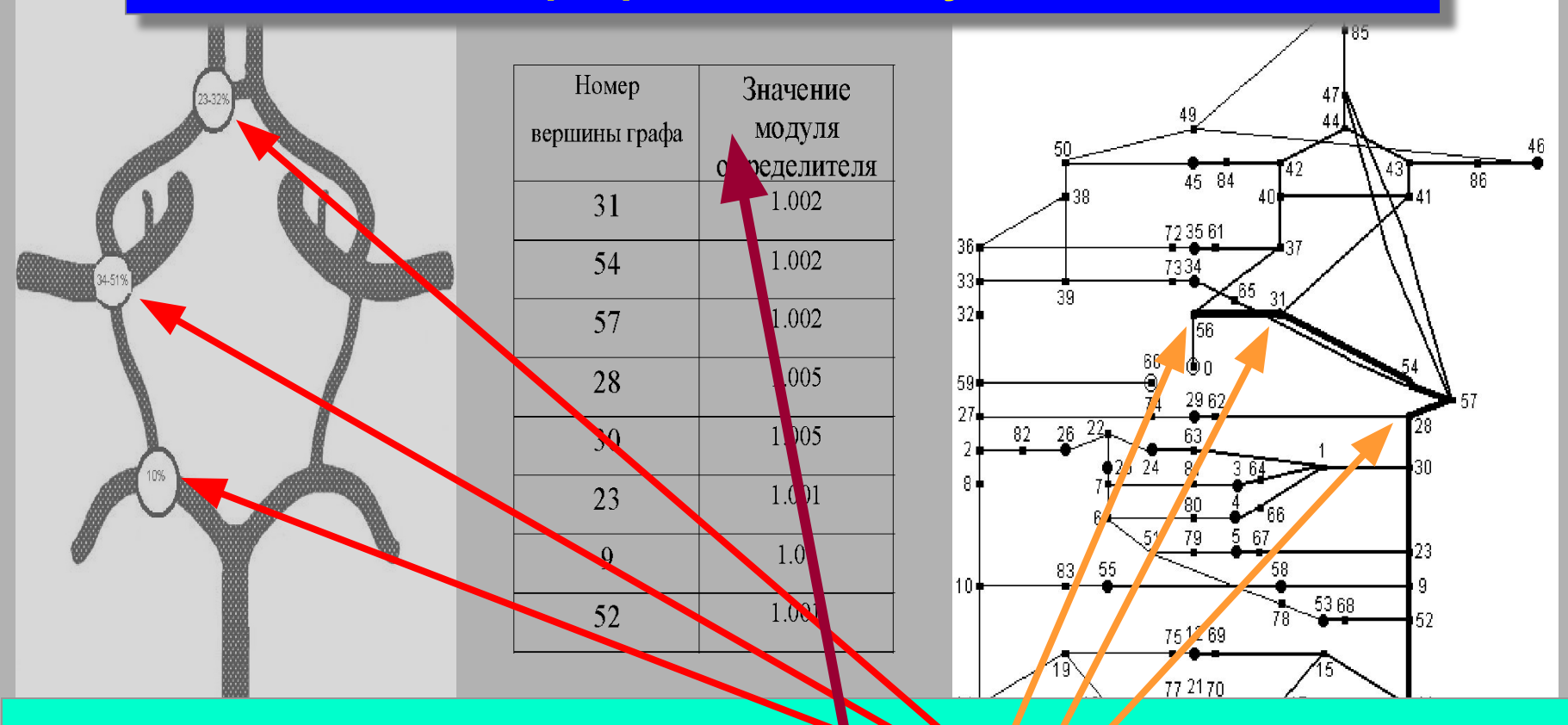


Характер поведения амплитуды пульсовых волн в сосудистой системе определяется значениями коэффициентов прохождения и отражения во всех вершинах бифуркаций. В частности, если произведение всех определителей матриц, составленных из коэффициентов прохождения и отражения в каждой из вершин, по модулю больше единицы, то амплитуда пульсовых волн растет с течением времени.

$$T' = \begin{bmatrix} K'_{1 \to 1} & \dots & K'_{n \to 1} \\ \mathbb{Z} & \mathbb{Z} & \mathbb{Z} \\ K'_{1 \to n} & \dots & K'_{n \to n} \end{bmatrix}$$

$$\left|\prod_{l=1}^m \det T^l\right| > 1$$

## Гемодинамический фактор развития аневризм в артериальных сосудах

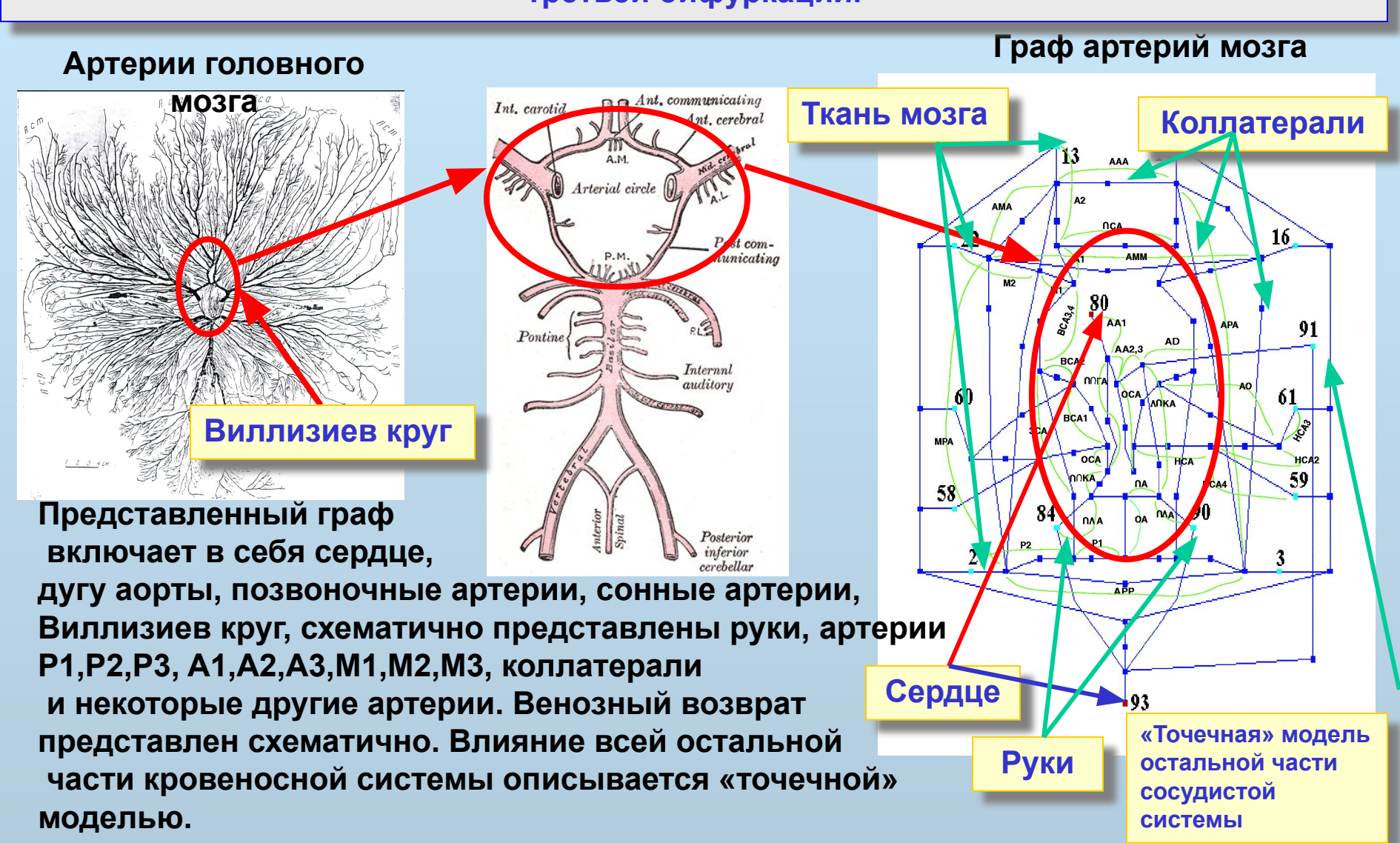


Замечена взаимосвязь между местами локализации аневризм в артериях головного мозга (Виллизиев круг), аневризмами грудной части аорты и определенными числовыми значениями определителей матриц, составленных из коэффициентов прохождения и отражения в вершинах графа, соответствующих местам локализации аневризм.

## Моделирование церебрального кровообращения

Построение графа для системы сосудов - первый этап моделирования.

Пример графа сосудов головного мозга, включающий в себя артерии до уровня третьей бифуркации.



## Вычислительный эксперимент

Пациент П. имеет 70% стеноз правой внутренней каротидной артерии и 90% стеноз левой каротидной артерии. Параметры сосудов его головного мозга (длины, диаметры, коэффициенты эластичности и т.д.) и сердца были установлены в ходе клинических исследований. В ходе операционного вмешательства предполагалась окклюзия (пережатие) ряда артерий (точки 2-9 на рисунке).

Вопрос: Что произойдет с распределением потоков крови по различным отделам

головного мозга при окклюзии? Результаты моделирования Точки окклюзии Допустимым является уменьшение n22 n16 Blud supplay of brain tissues **\_**притока крови не First column is the flow without occlusions. более чем на 20% Возможно ли это? **£лучае пациента П.** Потоки крови в коллатералях компенсация происходит за счет коллатерального Распределение потоков крови сильно

меняется после окклюзии

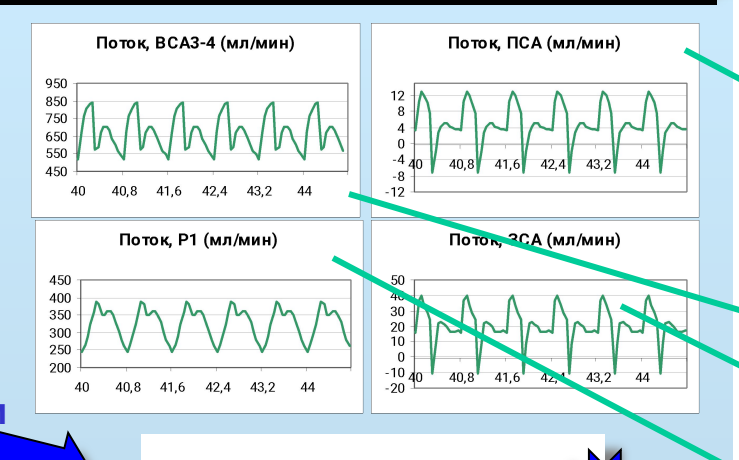
кровообращения.

## Вычислительный эксперимент

Граф церебральных сосудов + элементы большого круга кровообращения:

- двухкамерное сердце
- дуга аорты
- артерии, вены, ткани рук

- точечные сопротивления и обобщенные сосуды с соответствующими объемами и резистивными свойствами

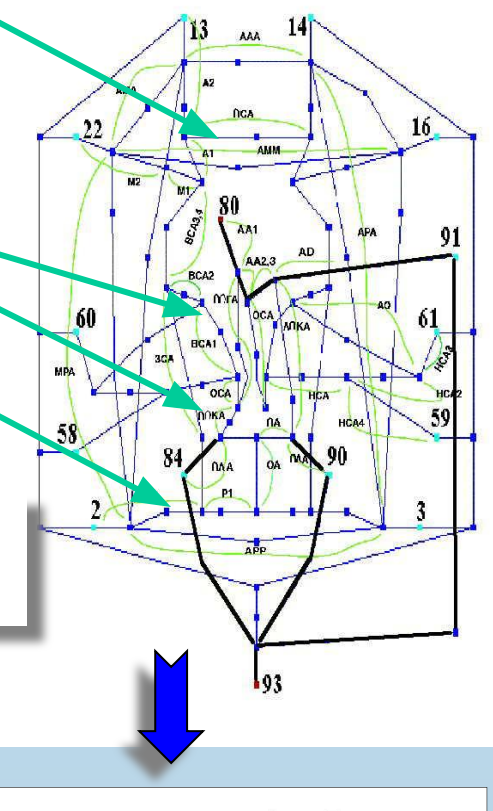


Модель замкнута

Взаимовлияние давления в аорте и в головном мозге

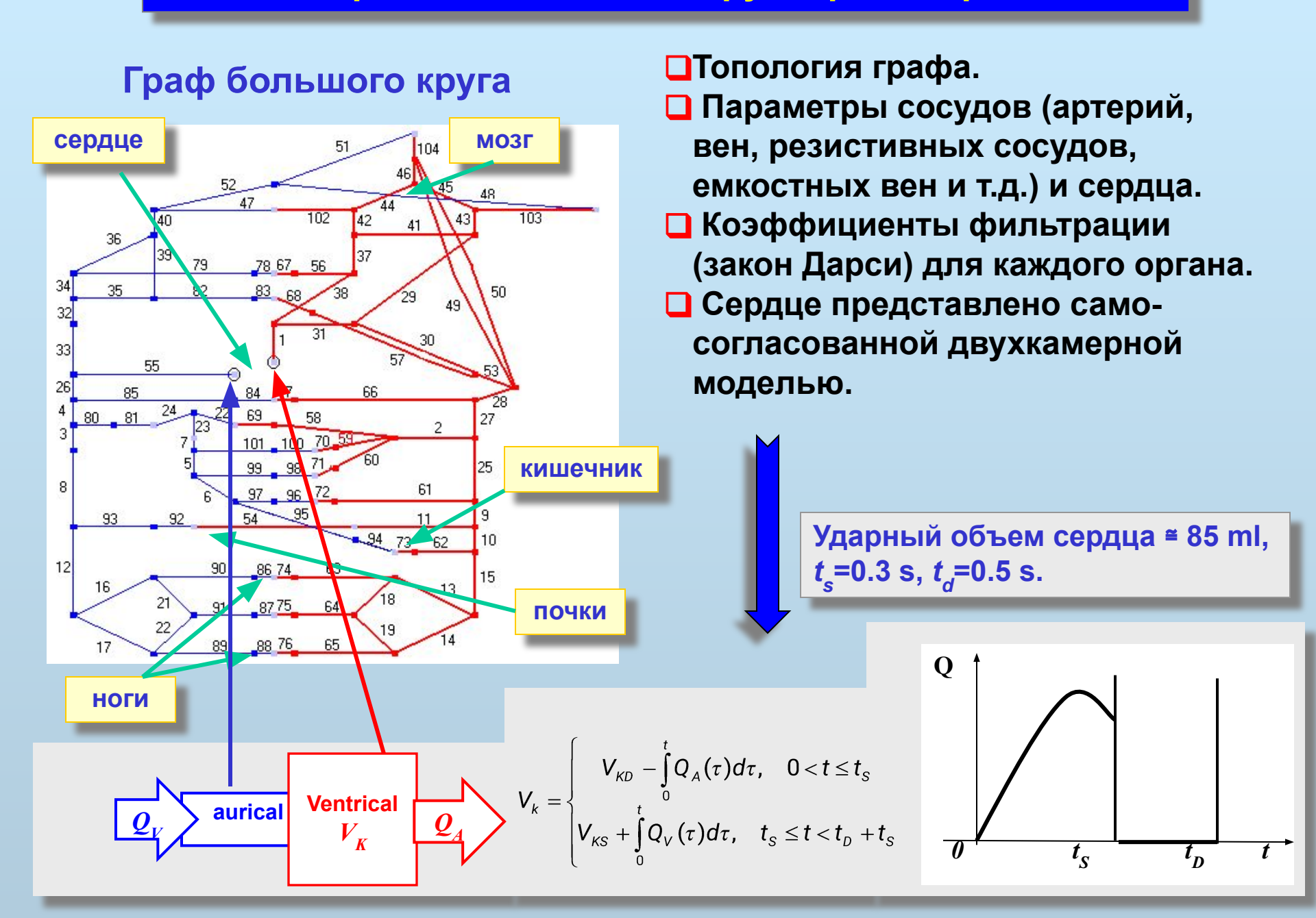
Анализ изменений объема крови в венозной и артериальной части мозга для оценки ликвородинамики головного мозга по модели Келли.

Изменение объема крови в сосудах выше Веллизиева круга в расчетах составляет 1,8 мл за один период сокращения сердца, что согласуется с экспериментальными данными в соответствии с которыми между головным и спинным мозгом за период сокращения сердца циркулирует около 1 мл





## Моделирование большого круга кровообращения

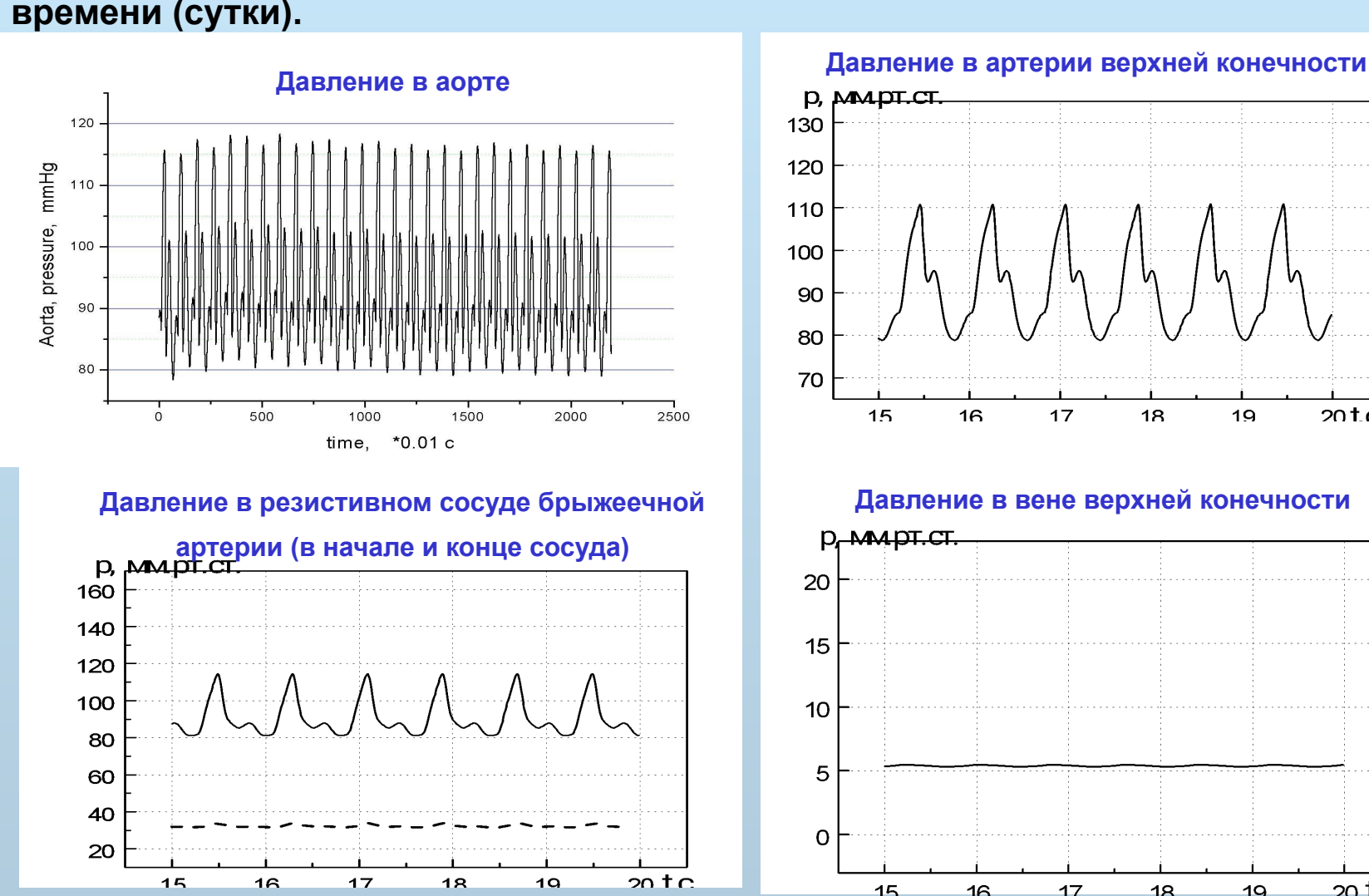


## Квазипериодический режим в большом круге кровообращения

20 t.c

20 t c

Ударный объем сердца ≅ 85 мл, продолжительность систолы*t*s=0.3 с, диастолы td=0.5 с. Течение крови (после 5 - 10 периодов работы сердца) в сердечнососудистой системе выходит на режим, при котором величины максимального и минимального давления в сосудах практически не меняются в течение длительного времени (сутки).



## Квазипериодический режим в большом круге кровообращения

## Объемная скорость кровотока.

№ сосуда на графе	Название сосуда	ОСК, численный расчет, мл/с	ОСК, мед. данные * мл/с
2	Чревный ствол	24,3	$21,2 \pm 2,5$
56,57	Подключичная артерия	3,6	1,15 - 5,26
50,49	Позвоночная артерия	2	$1,55 \pm 0,55$

<sup>(\*</sup>Ультразвуковая доплеровская диагностика сосудистых заболеваний. Под ред. Ю.М. Никитина, А.И. Труханова, 1998)

## Построенная модель применена для исследования влияния таких факторов, как:

параметры резистивных сосудов;

продолжительность систолы;

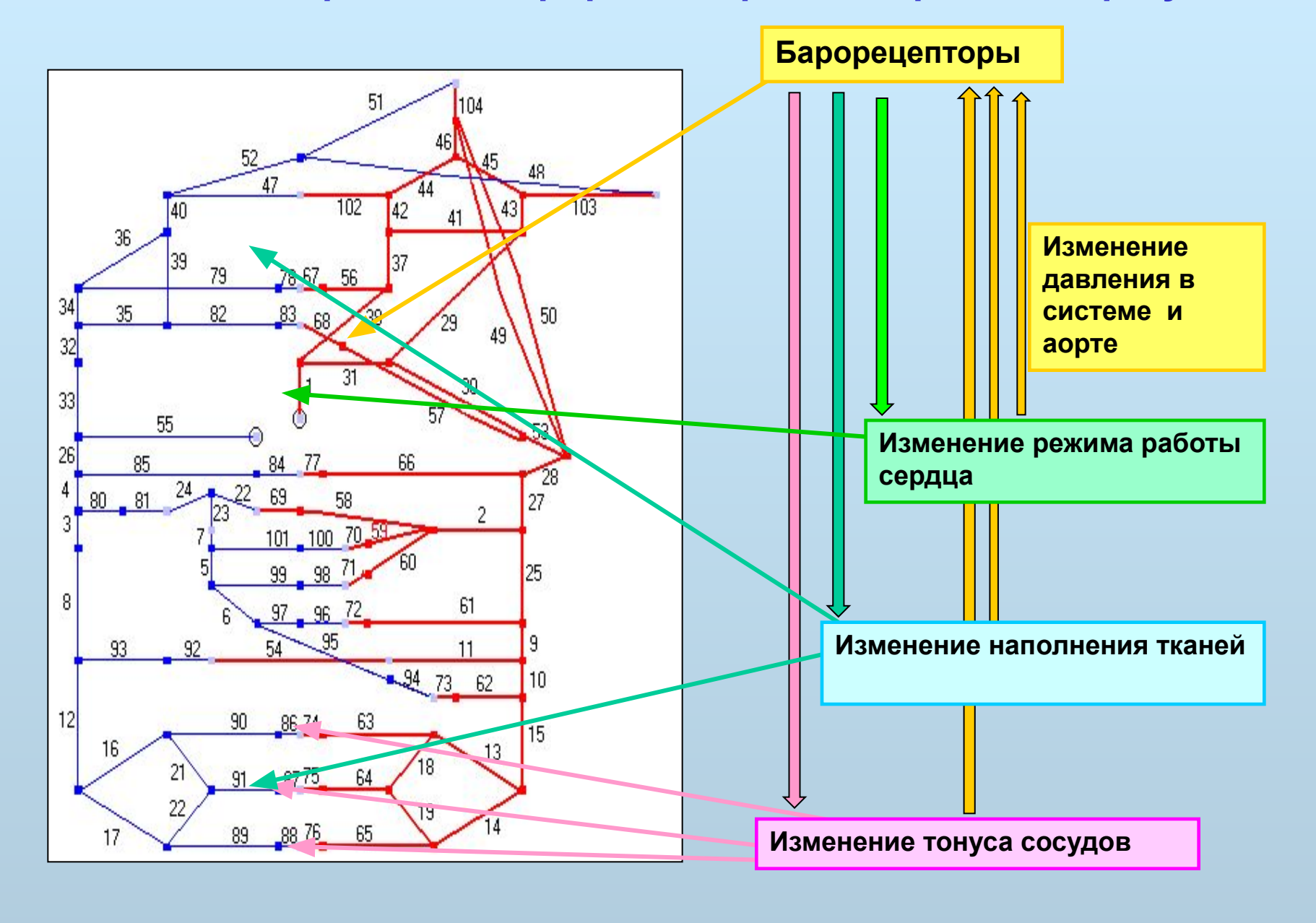
величина ударного объема сердца;

величина коэффициента вязкости крови;

физическая нагрузка;

регуляторная функция почки;

на артериальное давление и на кровоток во всей системе.



## Принципиальная схема нейрогенной регуляции

Повышение артериального давления

Увеличение импульсации от барорецепторов

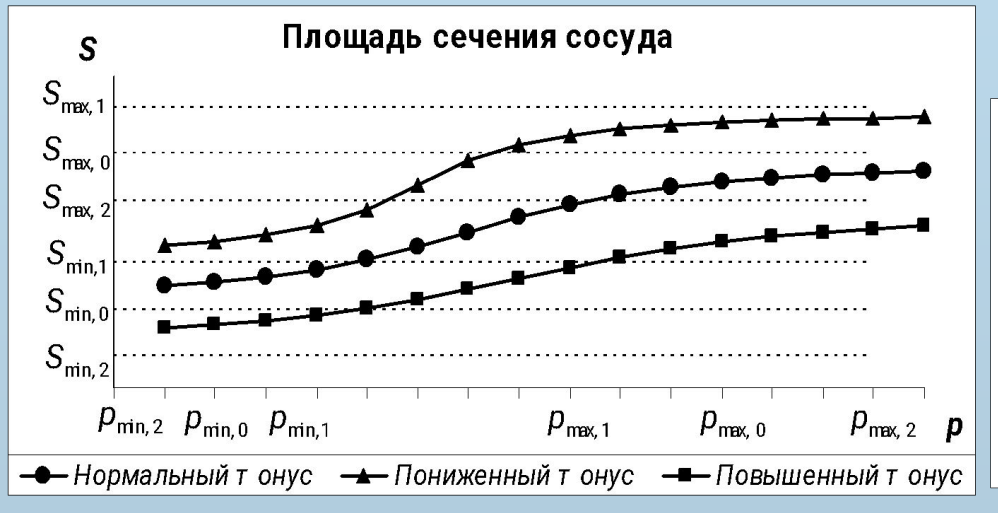
Реакция ЦНС Снижение тонуса сосудов. Увеличение заполненности тканей кровью. Уменьшение частоты сокращений сердца.

Понижение давления: обратные процессы

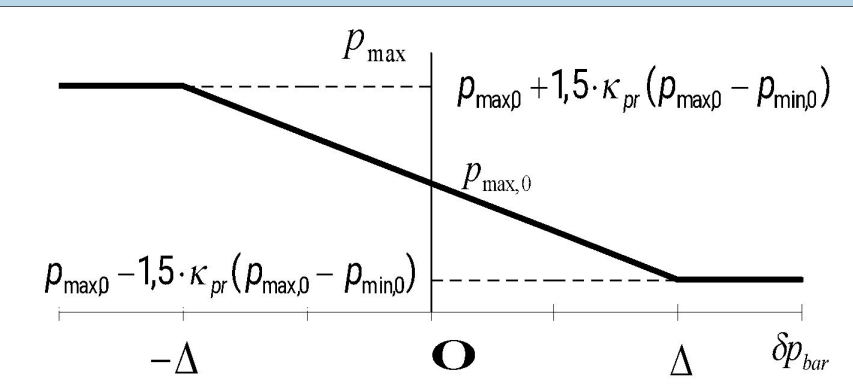
Механизм нейрорегуляции настроен на поддержание характерного давления

 $p_{bar}$  в сосуде с барорецепторами, которые реагируют на отклонение  $\delta p_{bar}(t)$  ,  $\delta p_{bar}(t) = p_{cped}(t) - p_{bar}$  , где  $p_{cped}(t) = \frac{1}{T} \int\limits_{t-T}^{t} p(\tau) d\tau$  – среднее давление в сосуде.

#### Модель изменения тонуса сосудов



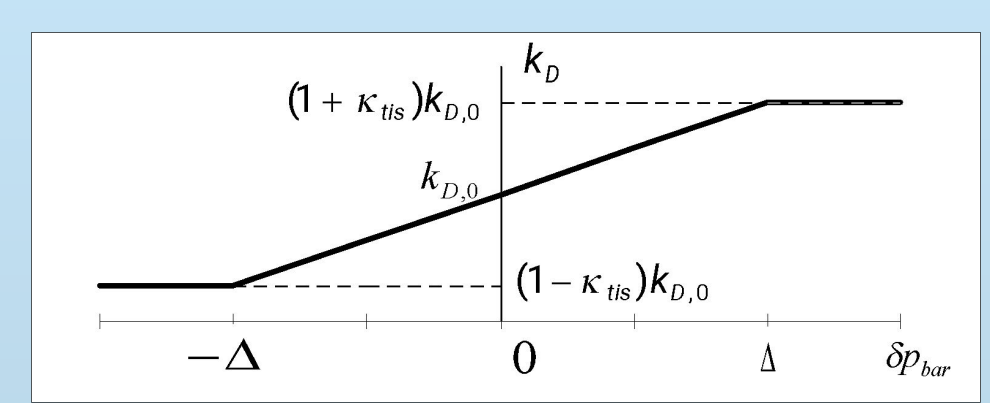
Повышение давления приводит к увеличению площади сечения и к уменьшению жесткости



## Модель изменения наполненности капилляров (тканей)

Повышение (уменьшение) давления приводит к увеличению (уменьшению) количества капилляров в тканях, заполненных кровью. В рамках точечных моделей это можно интерпретировать как увеличение (уменьшение) коэффициента фильтрации в законе Дарси  $uS = K_D(p_1 - p_2)$ 

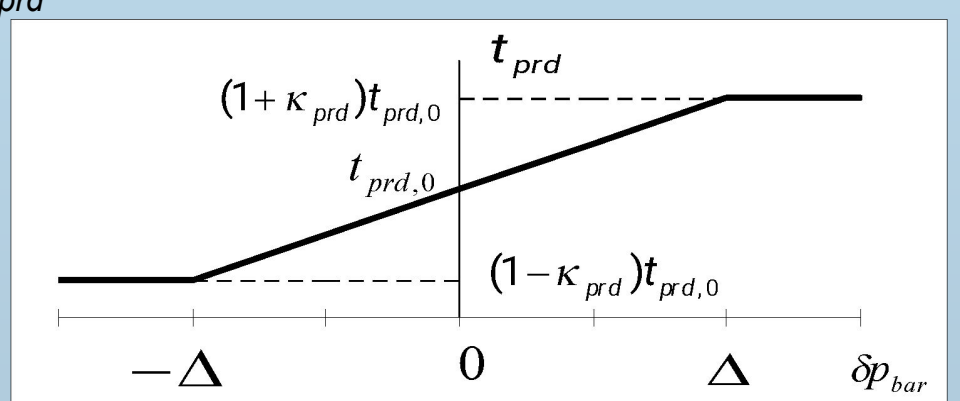
$$k_{D} = \begin{cases} (1 - \kappa_{tis})k_{D,0}, & \delta p_{bar} < -\Delta \\ (1 + \kappa_{tis}\frac{\delta p_{bar}}{\Delta})k_{D,0}, & -\Delta \leq \delta p_{bar} \leq \Delta \\ (1 + \kappa_{tis})k_{D,0}, & \delta p_{bar} > \Delta \end{cases}$$

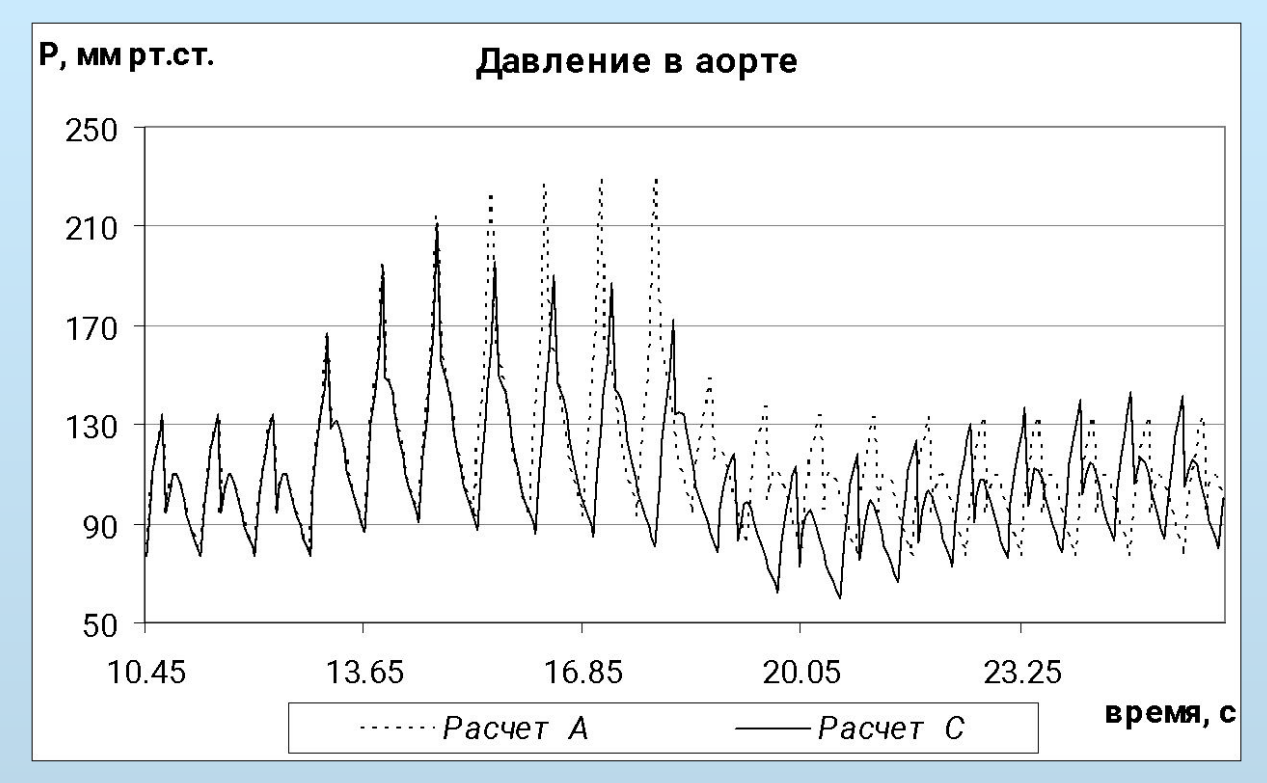


#### Модель изменения частоты сокращения сердца

Повышение (уменьшение) давления приводит к увеличению (уменьшению) продолжительности сердечного цикла  $t_{\rm prd}$  .

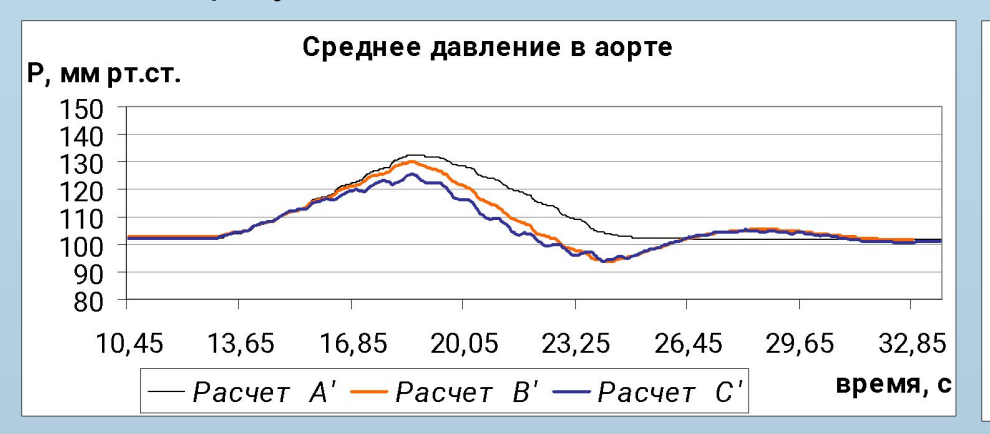
$$t_{prd} = \begin{cases} (1 - \kappa_{prd})t_{prd,0}, & \delta p_{bar} < -\Delta \\ (1 + \kappa_{prd}\frac{\delta p_{bar}}{\Delta})t_{prd,0}, & -\Delta \leq \delta p_{bar} \leq \Delta \\ (1 + \kappa_{prd})t_{prd,0}, & \delta p_{bar} > \Delta \end{cases}$$

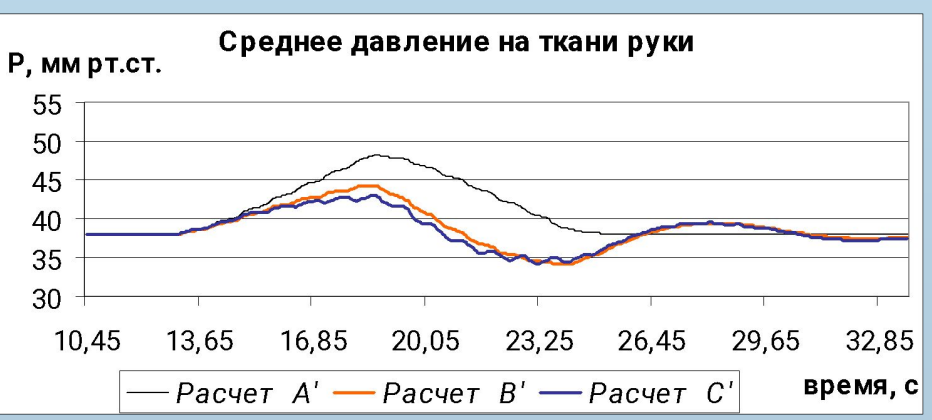




После кратковременного повышения артериального давления нейрогенная регуляция приводит к возврату давления в норму. Снижается среднее давление в аорте и в артериях руки.

Расчет A – течение без регуляции, B – течение с частичной регуляцией, C – течение с полной регуляцией

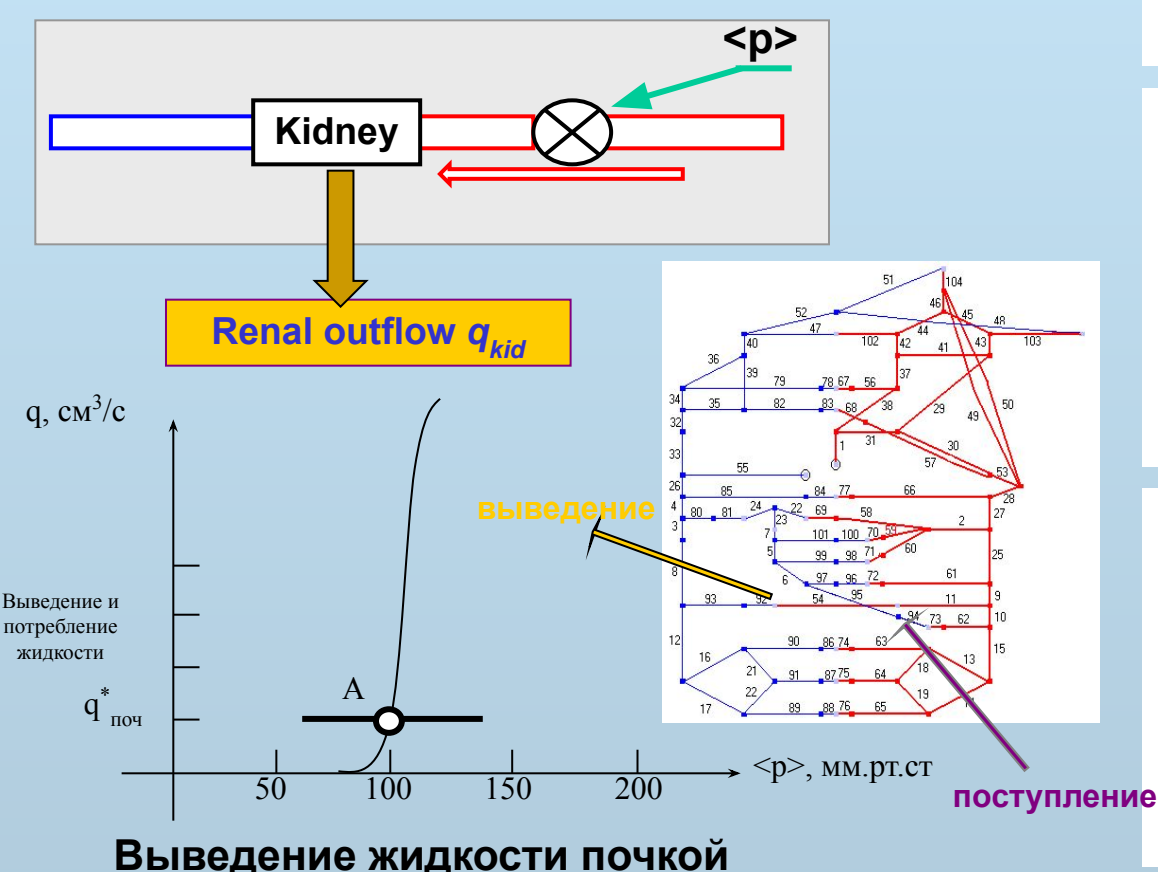


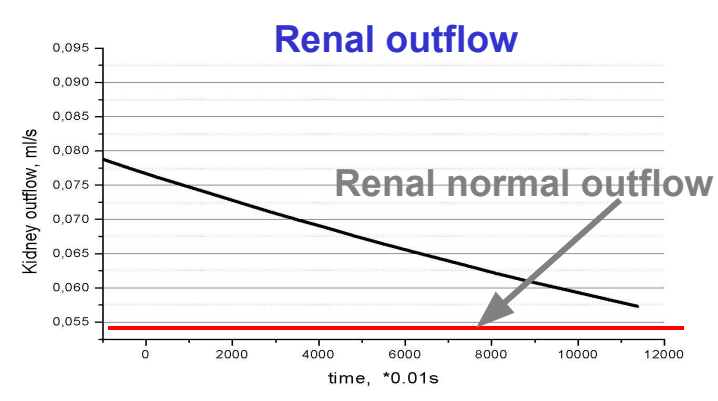


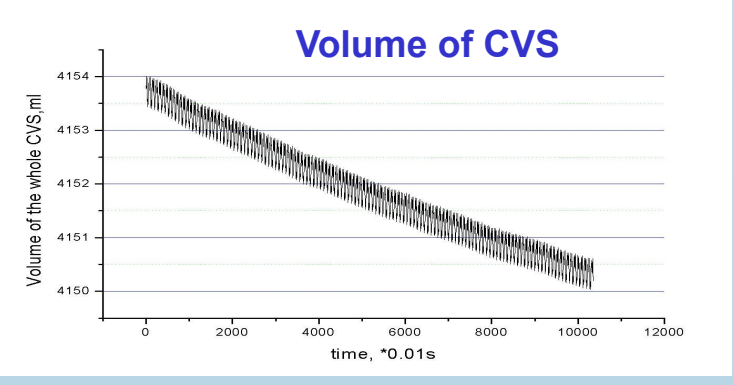
## Моделирование почечной регуляции давления

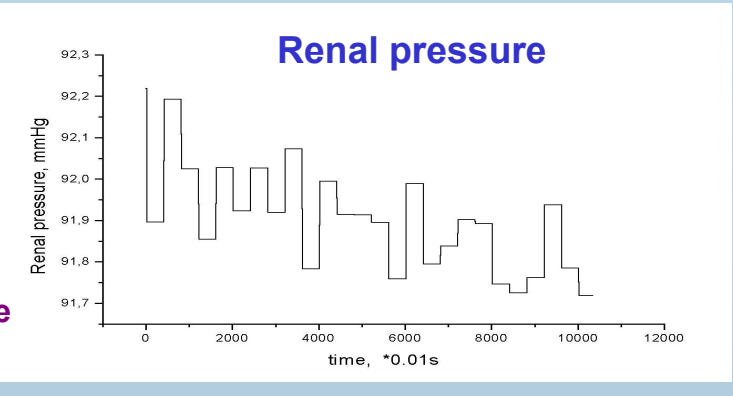
Простейшая модель почечной регуляции: если среднее почечное давление  $<\!p\!>$  становится больше, чем некоторое  $p^*_{nou,}$  то начинается экспоненциально нарастающий (по сравнению с нормальным  $\mathbf{q}^*_{nou}$ ) сброс жидкости

$$q_{nou} = q_{nou}^* e^{\langle p \rangle - p_{nou}^*}$$



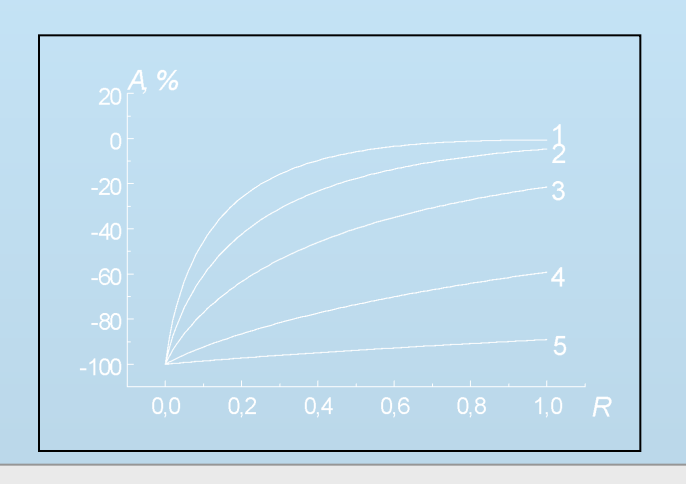


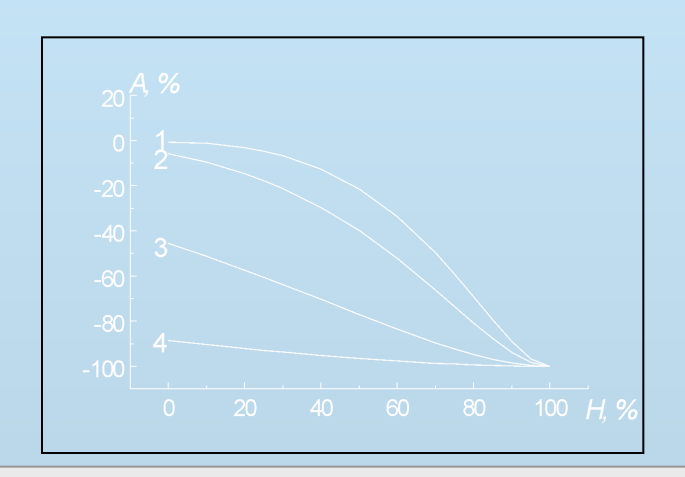




## Моделирование неспецифического аортоартериита

Получены качественные и количественные зависимости симптоматики заболевания от степени поражения сосудистой системы.





$$A = \frac{A_{i} - A_{i, H.}}{A_{i, H.}} 100\%, \qquad R = \frac{\overline{\theta}}{\overline{\theta}_{H.}}, \qquad H = \frac{\overline{s}_{H.} - \overline{s}}{\overline{s}_{H.}} 100\%,$$

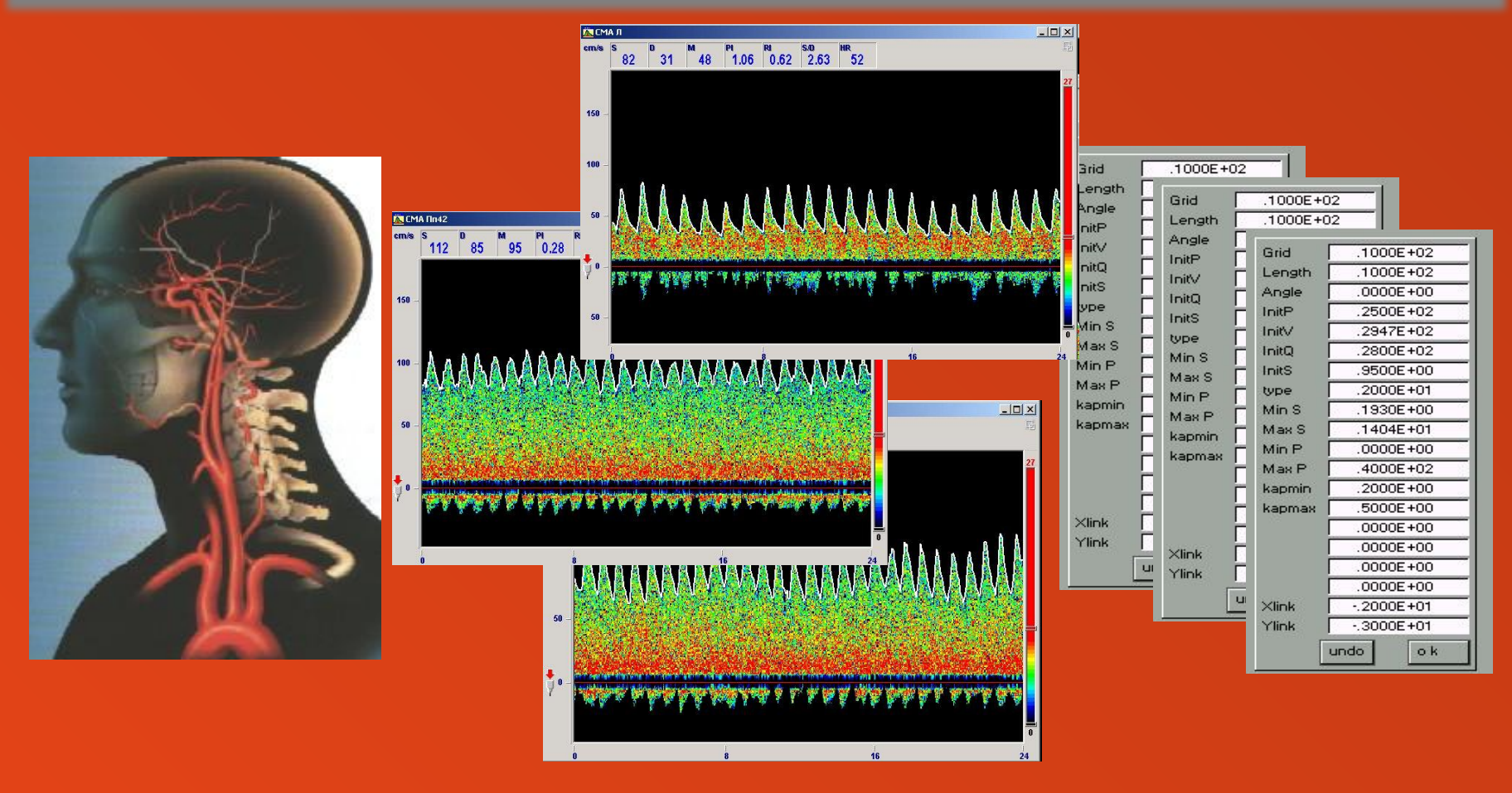
$$R=\frac{\overline{\theta}}{\overline{\theta}_{\scriptscriptstyle H.}},$$

$$H = \frac{\overline{S}_{H.} - \overline{S}}{\overline{S}_{H.}} 100\%$$

- Амплитуда пульсовой волны в i-*ом* сосуде в «норме»

- Амплитуда для пораженной заболеванием сосудистой системы

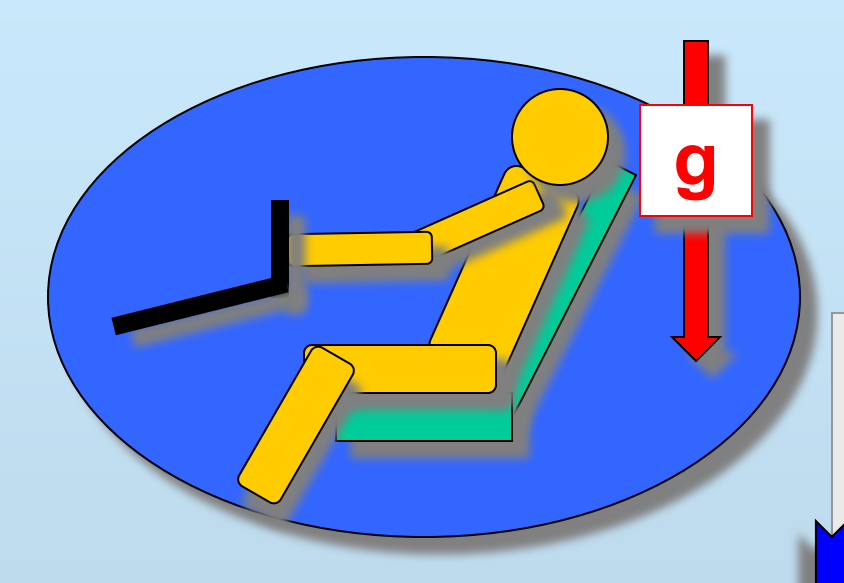
#### Возможность учета индивидуальных особенностей пациента.



Создание баз данных параметров основных сосудов артериального и венозного русла позволяет исследовать общие закономерности гемодинамики

Адаптация параметров модели в соответствии с результатами обследования конкретного пациента, учет выявленных патологических отклонений и изменение топологии системы позволяет использовать комплекс в целях практической медицины

## Моделирование гравитационного воздействия

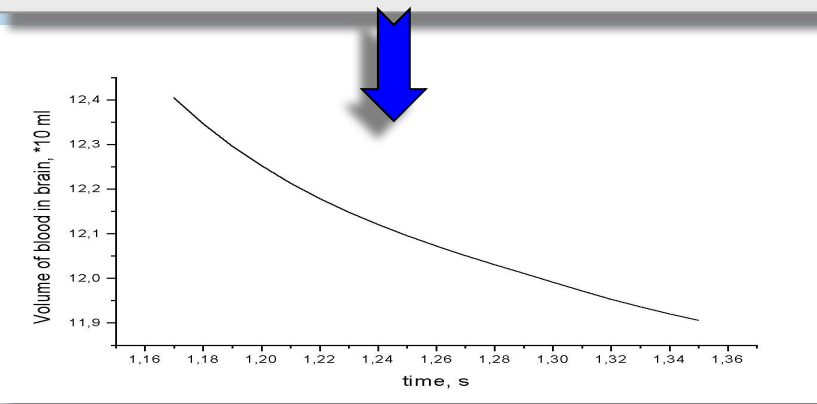


**Исследуется влияние гравитации на гемодинамику человека.** 

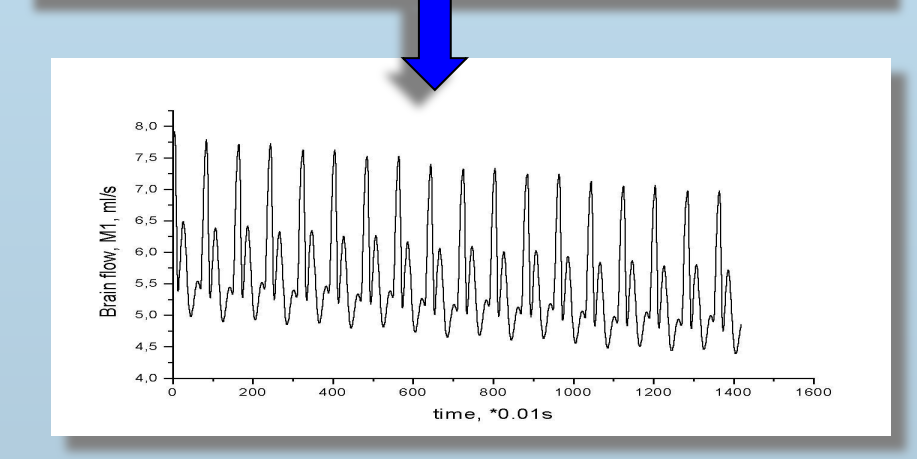


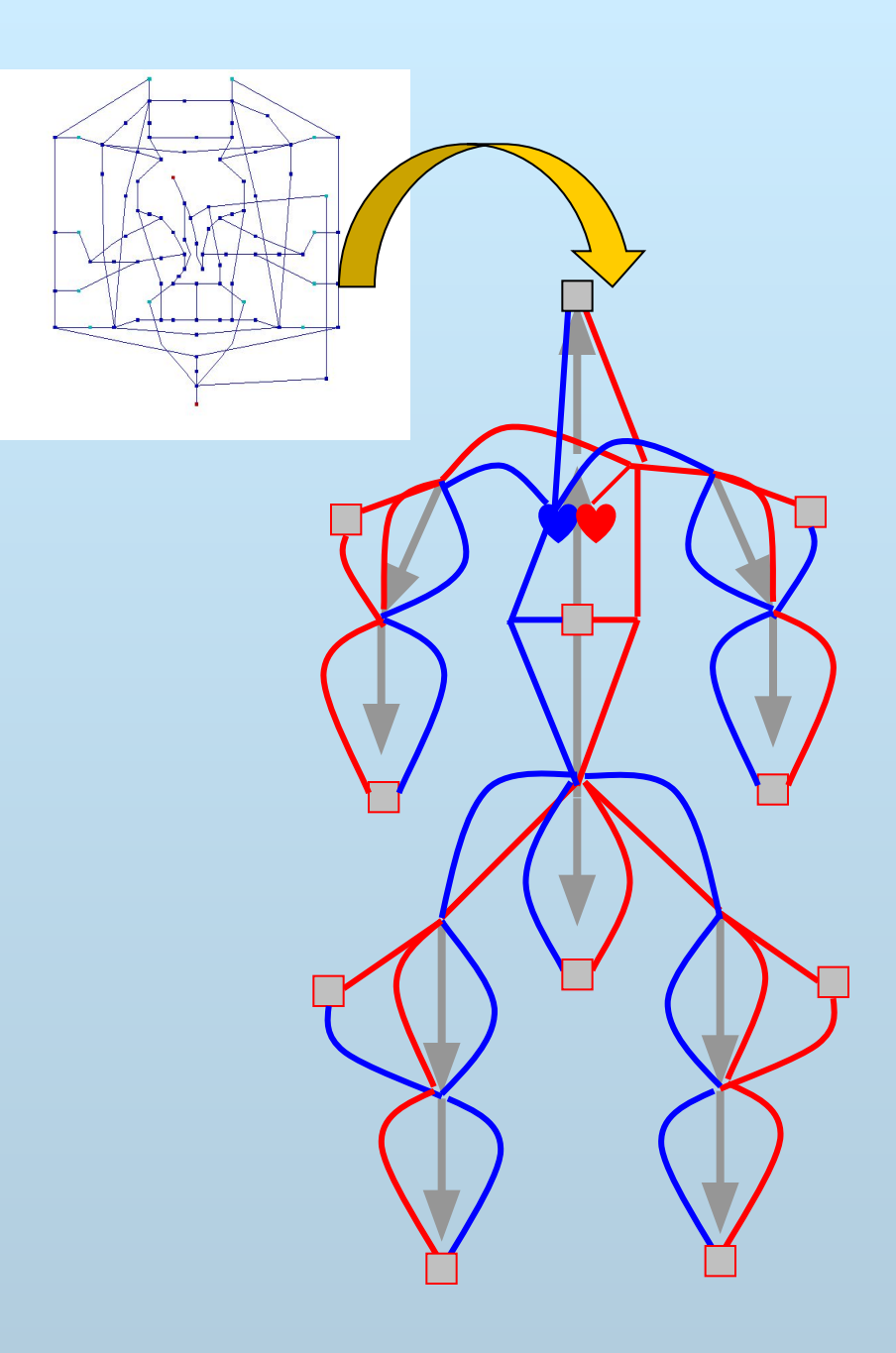
Моделирование на полном графе (большой круг кровообращения + церебральное кровообращение) позволяет установить изменения в гемодинамике, например, в случае быстро меняющейся гравита и.

Объем кровотока в мозге сильно падает под действием нарастающей гравитации.



**Меняется распределение потоков** крови по отделам головного мозга.



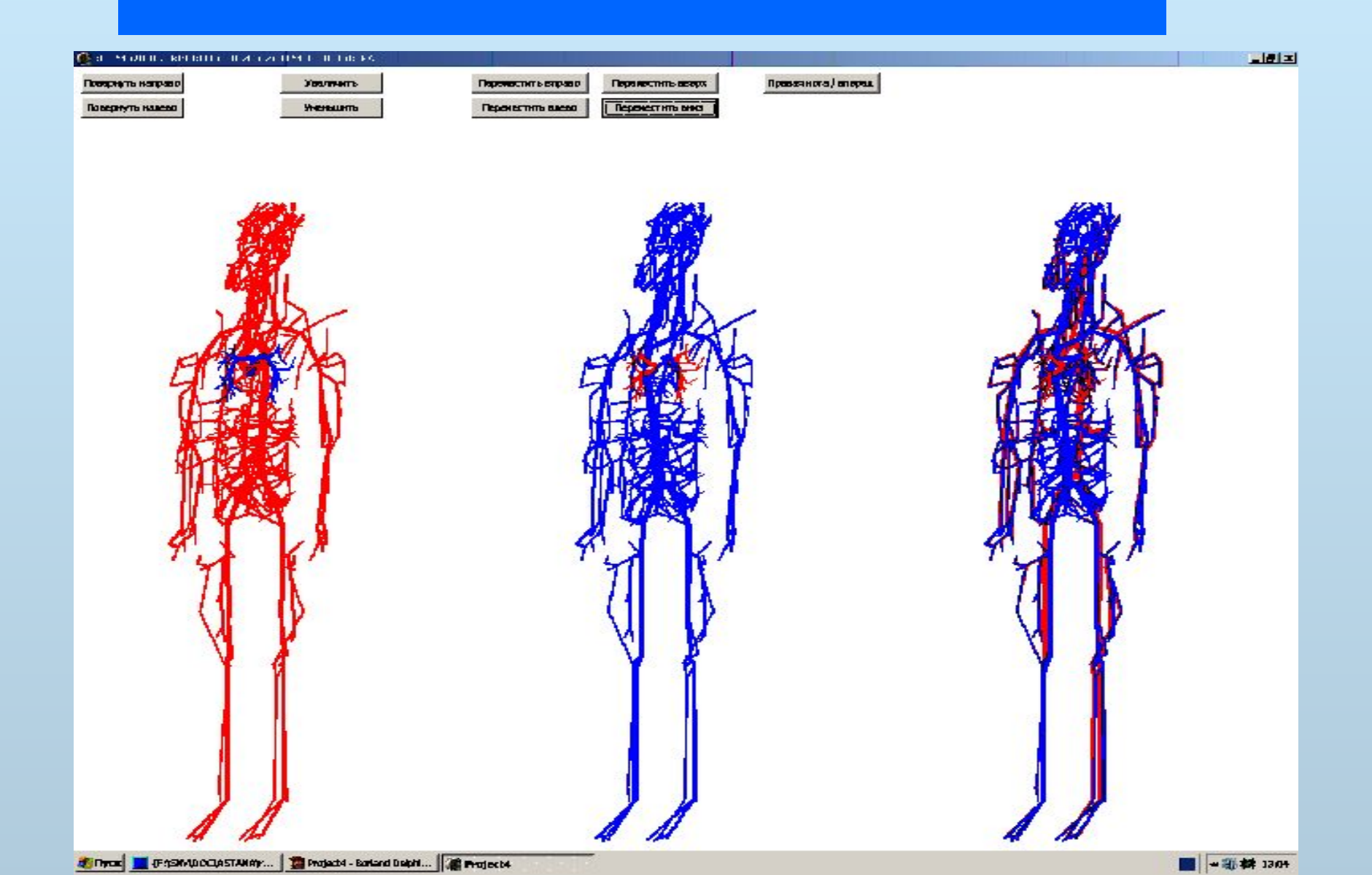




Моделирование пространственной структуры графа кровеносных сосудов человека позволяет существенно повысить адекватность математической модели физическим и физиологическим процессам в организме. Это принципиально важно при рассмотрении влияния гравитационных перегрузок на процесс кровообращения и для моделирования функционирования кровеносной системы в движении.



# Пространственный граф системы кровообращения человека в силовом поле



#### Публикации.

- М.В.Абакумов, К.В.Гаврилюк, Н.Б.Есикова, В.Б.Кошелев, А.В.Лукшин, С.И.Мухин, Н.В. Соснин, В.Ф.Тишкин, А.П.Фаворский. **Математическая модель гемодинамики сердечно-сосудистой системы.** Дифференциальные уравнения. 1997. Т.33, №7, с.892-898.
- М.В.Абакумов, И.В.Ашметков, Н.Б.Есикова, В.Б.Кошелев, С.И.Мухин, Н.В.Соснин, В.Ф. Тишкин, А.П.Фаворский, А.Б.Хруленко. **Методика математического моделирования сердечно-сосудистой системы.** Математическое моделирование. 2000. Т.12, №2, с.106-117.
- И.В.Ашметков, С.И.Мухин, Н.В.Соснин, А.П.Фаворский, А.Б.Хруленко. **Анализ и сравнение некоторых аналитических и численных решений задач гемодинамики.** Дифференциальные уравнения. 2000. Т.36, №7, с.919-924.
- А.Я.Буничева, С.И.Мухин, Н.В.Соснин, А.П.Фаворский. **Осредненная нелинейная модель гемодинамики на графе сосудов.** Дифференциальные уравнения. 2001. Т.37, №7, с.905-912.
- И.В.Ашметков, А.Я.Буничева, В.А.Лукшин, В.Б.Кошелев, С.И.Мухин, Н.В.Соснин, А.П. Фаворский, А.Б.Хруленко. **Математическое моделирование кровообращения на основе программного комплекса CVSS**. Сборник: Компьютерные модели и прогресс медицины. 2001. М.,Наука, с.194-218.
- И.В.Ашметков, С.И.Мухин, Н.В.Соснин, А.П.Фаворский. **Краевая задача для ЛГД уравнений на графе.** Дифференциальные уравнения. 2004. Т.40, №1, с.87-97.
- А.Я.Буничева, С.И.Мухин, Н.В.Соснин, А.П.Фаворский. **Вычислительный эксперимент в гемодинамике.** Дифференциальные уравнения. 2004. Т.40, №7, с.920-935.
- И.В.Ашметков, А.Я.Буничева, С.И.Мухин, Т.В.Соколова, Н.В.Соснин, А.П.Фаворский. **Математическое моделирование гемодинамики в мозге и большом круге кровообращения**. Сборник: Компьютер и мозг. 2005. М.,Наука, с.39-99.
- С.И.Мухин, Н.В.Соснин, А.П.Фаворский. **Исследование влияния вязкого трения на пульсовую волну.** Дифференциальные уравнения. 2006. Т.42, №7, с.979-993.
- С.И.Мухин, М.А.Меняйлова, Н.В.Соснин, А.П.Фаворский. **Аналитическое исследование стационарных гемодинамических течений в эластичной трубке с учетом трения.** Дифференциальные уравнения. 2007. Т.43, №7, с.987-992.
- В.Б.Кошелев, С.И.Мухин, Т.В.Соколова, Н.В.Соснин, А.П.Фаворский. **Математическое** моделирование гемодинамики сердечно-сосудистой системы с учетом влияния нейрорегуляции. Математическое моделирование. 2007. Т.19, №3, с.15-28.